

T.C.  
DOKUZ EYLÜL ÜNİVERSİTESİ  
SAĞLIK BİLİMLERİ ENSTİTÜSÜ

**İNVAZİV DUKTAL MEME KANSERLERİİNDE  $\beta$ -CATENİN'İN  
KARSİNOGENİK SÜREÇTE ÖNEMLİ GÖRÜLEN N-UCU  
MUTASYONLARININ ARAŞTIRILMASI**

**ARAŞ. GÖR. SEFA KIZILDAĞ**

**TIBBİ BİYOLOJİ VE GENETİK ANABİLİM DALI  
DOKTORA TEZİ**

**DANIŞMAN ÖĞRETİM ÜYESİ  
PROF. DR. MERAL SAKIZLI**

**İZMİR  
2004**

**"İnvaziv duktal Meme karsinomlarında  $\beta$ -Catenin'in karsinogenik süreçte önemli görülen N-ucu mutasyonlarının araştırılması"** isimli bu tez 22.01.2004 tarihinde tarafımızdan değerlendirilerek **Başarılı \ Başarısız** bulunmuştur.

**Jüri başkanı**

Prof. Dr. Meral Sakızlı

Dokuz Eylül Üniversitesi Tıp Fakültesi

Tıbbi Biyoloji ve Genetik A.B.D.



N. Atabey  
Jüri Üyesi

Prof. Dr. Neşe Atabey  
Dokuz Eylül Üniversitesi Tıp Fakültesi  
Tıbbi Biyoloji ve Genetik A.B.D.



M. Alakavuklar

Jüri Üyesi  
Prof. Dr. Mehmet Alakavuklar  
Dokuz Eylül Üniversitesi Tıp Fakültesi  
Hematoloji onkoloji A.B.D.



Jüri Üyesi

Prof. Dr. Nejat Topçuoğlu  
Ege Üniversitesi Tıp Fakültesi  
Tıbbi Biyoloji A.B.D.



Jüri Üyesi

Yrd. Doç. Dr. Çiğdem Eresen  
Dokuz Eylül Üniversitesi Tıp Fakültesi  
Tıbbi Biyoloji ve Genetik A.B.D.

<b>TABLO LİSTESİ .....</b>	<b>1</b>
<b>ŞEKİL LİSTESİ.....</b>	<b>2</b>
<b>1 KISALTMALAR.....</b>	<b>3</b>
<b>2 ÖZET.....</b>	<b>5</b>
<b>3 SUMMARY.....</b>	<b>6</b>
<b>4 GİRİŞ VE AMAÇ.....</b>	<b>7</b>
<b>5 GENEL BİLGİLER .....</b>	<b>10</b>
<b>5.1 MEME KANSERLERİ: .....</b>	<b>10</b>
<b>5.1.1 Meme kanseri risk faktörleri: .....</b>	<b>11</b>
<b>5.1.2 Meme kanserlerinde prognostik belirleyiciler: .....</b>	<b>13</b>
<b>5.2 KARSİNOGENEZDE MAJOR GENETİK DEĞİŞİKLİKLER:.....</b>	<b>14</b>
<b>5.2.1 Onkogenlerin mutasyonel aktivasyonu .....</b>	<b>16</b>
<b>5.2.2 Tümör baskılıyıcı genlerin inaktivasyonu.....</b>	<b>16</b>
<b>5.2.3 Proto-onkogen ve Tümör baskılıyıcı gen örneği.....</b>	<b>17</b>
<b>5.2.4 DNA tamirinde görev alan genlerde ortaya çıkan değişiklikler.....</b>	<b>19</b>
<b>5.3 WNT SİNAL YOLU: .....</b>	<b>20</b>
<b>5.3.1 Wnt yolağının ekstrasellüler inhibitörleri: .....</b>	<b>24</b>
<b>5.3.2 Wnt yolağındaki Ligand ve reseptörler: .....</b>	<b>24</b>
<b>5.3.3 Wnt yolağının akış yönünde bulunan reseptör kompleksi: .....</b>	<b>25</b>
<b>5.3.4 Wnt sinyal yolağında multiprotein kompleks proteinleri: .....</b>	<b>26</b>
<b>5.3.5 Wnt yolağının nükleer komponentleri: .....</b>	<b>27</b>
<b>5.3.6 Wnt yolağı Hedef genleri: .....</b>	<b>28</b>
<b>5.4 İNSAN SOLİD TÜMÖRLERİNDE WNT YOLAĞINDAKİ DEĞİŞİKLİKLER:.....</b>	<b>28</b>
<b>5.5 CTNNB1 (β-CATENİN):.....</b>	<b>29</b>
<b>5.6 İNSAN SOLİD TÜMÖRLERİNDE β-CATENİN MUTASYONLARI:.....</b>	<b>31</b>
<b>5.7 SSCP (TEK İPLİK KONFORMASYON POLİMORFİZMİ) ANALİZİ .....</b>	<b>34</b>
<b>6 GEREÇ VE YÖNTEMLER .....</b>	<b>36</b>
<b>6.1 HASTA SEÇİM YÖNTEMİ:.....</b>	<b>36</b>
<b>6.2 TÜMÖR ÖRNEKLERİNDEN DNA İZOLASYONU:.....</b>	<b>36</b>
<b>6.2.1 DNA Elektroforezi: .....</b>	<b>37</b>
<b>6.3 β-CATENİN EKSON 3 POLİMERAZ ZİNCİR REAKSİYONU:.....</b>	<b>39</b>
<b>6.4 β-CATENİN EKSON 4 POLİMERAZ ZİNCİR REAKSİYONU:.....</b>	<b>40</b>
<b>6.5 β-CATENİN EKSON 5 POLİMERAZ ZİNCİR REAKSİYONU.....</b>	<b>41</b>
<b>6.6 β-CATENİN EKSON 6 POLİMERAZ ZİNCİR REAKSİYONU:.....</b>	<b>42</b>
<b>6.7 β-CATENİN EKSON 2, EKSON 3, EKSON 4 POLİMERAZ ZİNCİR REAKSİYONU:.....</b>	<b>43</b>
<b>6.8 β-CATENİN EKSON 3, EKSON 4, EKSON 5, EKSON 6 SSCP ANALİZİ: .....</b>	<b>44</b>
<b>6.9 β-CATENİN EKSON 3 VE EKSON 5 DNA DİZİ ANALİZİ: .....</b>	<b>46</b>
<b>6.10 β-CATENİN İMMUNOHİSTOKİMYASAL YÖNTEM:.....</b>	<b>46</b>
<b>6.11 KULLANILAN GEREÇLER, SOLÜSYONLAR VE KİMYASAL MADDELER .....</b>	<b>48</b>
<b>6.11.1 Kullanılan Gereçler: .....</b>	<b>48</b>
<b>6.11.2 Kullanılan solüsyonlar: .....</b>	<b>49</b>
<b>6.11.3 Kullanılan kimyasal maddeler.....</b>	<b>50</b>
<b>7 BULGULAR .....</b>	<b>52</b>
<b>7.1 KLİNİK VE PATOLOJİK VERİLER: .....</b>	<b>52</b>
<b>7.2 DNA İZOLASYONU:.....</b>	<b>53</b>
<b>7.3 PCR AMPLİFİKASYONLARI: .....</b>	<b>53</b>
<b>7.3.1 Ekson 3 PCR Amplifikasyonları:.....</b>	<b>53</b>
<b>7.3.2 Ekson 4 PCR Amplifikasyonları:.....</b>	<b>54</b>
<b>7.3.3 Ekson 5 PCR Amplifikasyonları:.....</b>	<b>54</b>
<b>7.3.4 Ekson 6 PCR Amplifikasyonları:.....</b>	<b>55</b>
<b>7.3.5 Ekson 2, Ekson 3, Ekson 4 PCR Amplifikasyonları:.....</b>	<b>55</b>

7.4	SSCP SONUÇLARI: .....	56
7.4.1	$\beta$ -Catenin, Ekson 3 SSCP:.....	56
7.4.2	$\beta$ -Catenin Ekson 4 SSCP:.....	57
7.4.3	$\beta$ -Catenin Ekson 5 SSCP:.....	57
7.4.4	$\beta$ -Catenin Ekson 6 SSCP:.....	58
7.5	DNA DİZİ ANALİZİ SONUÇLARI.....	58
7.6	İMÜNOHİSTOKİMYASAL BOYAMA: .....	59
<b>8</b>	<b>SONUÇ VE ÖNERİLER.....</b>	<b>60</b>
<b>9</b>	<b>TARTIŞMA .....</b>	<b>62</b>
<b>10</b>	<b>EKLER.....</b>	<b>68</b>
10.1	EK-1 .....	68
<b>11</b>	<b>KAYNAKLAR.....</b>	<b>69</b>

## **TABLO LİSTESİ**

Tablo 1: 2000 Mart ayına kadar $\beta$ -catenin mutasyonu açısından çalışılan kanser tipleri ve mutasyon frekansları <sup>44</sup> .....	32
Tablo 2: DNA izolasyon basamakları .....	38
Tablo 3: PCR' da kullanılan maddeler ve son konsantrasyonları.....	39
Tablo 4: Ekson3 Polimeraz zincir reaksiyonu için sıcaklık profili: .....	39
Tablo 5: Ekson4 Polimeraz zincir reaksiyonu için sıcaklık profili: .....	41
Tablo 6: Ekson5 Polimeraz zincir reaksiyonu için sıcaklık profili: .....	42
Tablo 7: Ekson6 Polimeraz zincir reaksiyonu için sıcaklık profili: .....	43
Tablo 8: $\beta$ -Catenin Ekson 2, Ekson 3, Ekson 4 Polimeraz zincir reaksiyonu için sıcaklık profili:.....	44
Tablo 9: Çalışmaya dahil edilen hastaların klinik ve patolojik bulguları.....	52
Tablo 10: 14 İnvaziv duktal karsinom olgusuna ait $\beta$ -catenin immüno histokimya ve N-ucu mutasyon sonuçları.....	60

## **ŞEKİL LİSTESİ**

Şekil 1: Wnt yolu (Jornal of Cell Science 2002 115, pp.3977-3978) .....	23
Şekil 2:Wnt yolu molekülü Dsh/Dvl ve bağlanan domeynleri .....	25
Şekil 3:Multiprotein kompleks proteinleri .....	26
Şekil 4:Wnt yolunda nükleer proteinler .....	28
Şekil 5: $\beta$ -catenin Ekson intron bağlantıları .....	29
Şekil 6: $\beta$ -catenin'e bağlanan proteinler ve fosforile olan amino asitler.....	30
Şekil 7:SSCP Jel prensibi. <sup>115</sup> .....	34
Şekil 8: Ekson 3 PCR primerleri.....	39
Şekil 9: Ekson 4 PCR primerleri.....	40
Şekil 10: Ekson 5 PCR primerleri.....	41
Şekil 11: Ekson 6 PCR primerleri.....	42
Şekil 12: Ekson 2, Ekson 3 Ekson 4 PCR primerleri. ....	43
Şekil 13: Hoefer SE 600 vertikal slab jel elektroforez ünitesi parçaları .....	45
Şekil 14: %1'lik agaroz jelde DNA örnekleri .....	53
Şekil 15: %3'lük NuSieve® GTG® (FMC) Agaroz jelde Ekson 3 PCR sonuçları (227bp)....	53
Şekil 16: %3'lük NuSieve® GTG® (FMC) Agaroz jelde Ekson 4 PCR sonuçları (253bp)....	54
Şekil 17: %3'lük NuSieve® GTG® (FMC) Agaroz jelde Ekson 5 PCR sonuçları (254bp)....	54
Şekil 18: %3'lük NuSieve® GTG® (FMC) Agaroz jelde Ekson 6 PCR sonuçları (217bp)....	55
Şekil 19: %2'lik NuSieve® GTG® (FMC) Agaroz jelde Ekson 2, Ekson 3, Ekson 4 PCR sonuçları (1377bp). ....	55
Şekil 20: %6'lık non-denatüran %10 gliserollü poliakrilamid jelde, Ekson 3 SSCP sonuçları. ....	56
Şekil 21: %4,5'lik non-denatüran poliakrilamid jelde , Ekson 3 SSCP sonuçları. ....	56
Şekil 22: %10'luk non-denatüran %10 gliserollü poliakrilamid jelde Ekson 4 SSCP sonuçları. ....	57
Şekil 23: %8'lik non-denatüran %5 gliserollü poliakrilamid jelde Ekson 5 SSCP sonuçları. .	57
Şekil 24: %8'lik non-denatüran gliserolsüz poliakrilamid jelde Ekson 6 SSCP sonuçları. ....	58
Şekil 25: 1 numaralı örneğe ait DNA dizi analizi kromatogram görüntüsü. ....	58
Şekil 26: İnvaziv duktal karsinoma da $\beta$ -catenin İmmünohistokimyasal Boyama görünümü. .	59

## **1 KISALTMALAR**

BRCA 1: (Breast Cancer Gene 1), (Meme kanseri Geni 1)

BRCA 2: (Breast Cancer Gene 2), (Meme Kanseri Geni 2)

Wnt: Wingless-type MMTV (Mouse mammary tumor virus) integration site family

CTNNB1:  $\beta$ -catenin geni

APC: Adenomatoz polipozis koli

GSK 3 $\beta$ : Glikojen sentaz Kinaz 3 $\beta$

WISP: (Wnt inducible pathway protein) (Wnt uyarımlı yolak proteini)

FAP: (Familial adenomatous polyposis) (ailesel adenomatoz polipozis)

SSCP: (Single Strand Conformation Polymorphism) (Tek iplikli konformasyon polimorfizmi)

KIDEM: İzmir Kanser İzlem ve Denetim Merkezi

ER: Östrojen Rezeptörü

PR: Progesteron rezeptörü

AJCC: Amerikan Birleşik Kanser Komitesi

RT-PCR: Revers Transkriptaz-Polimeraz Chain Reaction

DCIS: Duktal karsinoma *in situ*

LCIS: Lobüler karsinoma *in situ*

Fzd: frizzled

PCP: (Planar cell polarity) (Düzlemsel hücre polarite)

Dv1: Dishevelled

JNK: c-Jun amino-terminal kinase

Fmi: flamingo

ROCK: (Rho-associated kinase) (Rho-ilişik Kinaz)

Nkd: Naked

LEF: Lymphocyte enhancer factor (lenfosit etkinleştiriren faktör)

sFRP: (secreted frizzled-related protein) (Fizzled-ilişkili salgı proteini)

SARP: (secreted apoptosis related protein) (Apoptoz ilişkili salgı protein)

WIF: (Wnt-inhibitory factor) (Wnt inhibitör faktör)

Dkk: Dickkopf

Dlg: disclarge tümör supresör

ZO: zonula okludens

PSD: post sinaptik dansite proteini

Arm: Armadillo

CBP: (CREB binding protein) (CREB'e bağlanan protein)

MMP: Matriks metalloproteinaz

CtBP: (c-terminal binding protein) (c-ucuna bağlanan protein)

Lgs: Legless

Pygo: Pygopus

PHD: (plant homology domain) (Bitki homoloji domeyni)

CK 1: Kazein kinaz 1

Dpr: Dapper

HDAC: Histon deasetilaz

## **2 ÖZET**

Beta-catenin, sinyal iletisinde ve hücre adezyonunda önemli rolü olan multifonksyonel bir proteindir. İstirahat halindeki normal hücrede, Wnt aktivasyonu yokluğunda,  $\beta$ -catenin hücre membranında adherens bağlantılarında yerleşiktir ve hücre içi serbest sitoplazmik  $\beta$ -catenin düzeyi  $\beta$ -catenin'in ubikitin proteozom yıkılımından dolayı çok düşük düzeydedir. Wnt sinyal yokluğunda GSK3 $\beta$ ,  $\beta$ -catenin'i N-ucunda yer alan serin ve threonin amino asitlerinden (kodon 33, 37, 41, 45) fosfatlamaktadır. N-ucu serin ve threonin amino asitlerinin fosforilasyonu  $\beta$ -catenin stabilizasyonunu sağlamakta ve stabilize  $\beta$ -catenin nükleusa geçerek hedef genlerin transkripsiyonel aktivasyonunu gerçekleştirmektedir.

Bu çalışmada, 14 invaziv duktal meme kanseriörneğinde,  $\beta$ -catenin geninin 3, 4, 5 ve 6. eksonlarında (N-ucu) olası somatik mutasyonlar polimeraz zincir reaksiyonu (PCR), tek iplik konformasyon polimorfizmi (SSCP) ve DNA dizi analizi ile araştırılmıştır. İncelenen örneklerde, bu bölge için  $\beta$ -catenin mutasyonu saptanmamıştır.  $\beta$ -catenin proteininin hücre kompartımanlarında birikimi bağlantılı diğer bir araştırmada immünhistokimya yöntemi ile belirlenmiştir.

Bu sonuçlar, İnvaziv duktal meme kanserinde  $\beta$ -catenin'in genetik defektinin nadir olduğunu ve Wnt sinyal yolağını oluşturan diğer elemanların mutasyonlarının incelenmesinin önemli olabileceğini göstermiştir.

### **3 SUMMARY**

Beta-catenin is a multifunctional protein playing an important role in cellular adhesion and signal transduction. In normal resting cells in the absence of Wnt activation,  $\beta$ -catenin is localized to the adherence junctions on the cell membrane and free cytoplasmic  $\beta$ -catenin is rapidly destroyed by ubiquitin proteasome degradation pathway. In the absence of Wnt signalling, GSK-3 $\beta$  phosphorylates  $\beta$ -catenin at critical serine and threonine amino acids (codons 33, 37, 41, 45) located at the N-terminus. Phosphorylation of serine-threonine residues in N-terminus of  $\beta$ -catenin results in stabilization, cytoplasmic and nuclear accumulation of  $\beta$ -catenin, and subsequent transcriptional activation of putative target genes.

In this study we investigated 14 human invasive ductal breast cancer samples for somatic mutations in the exons 3, 4, 5 and 6 of  $\beta$ -catenin gene (N-terminal region) by the combined use of polymerase chain reaction (PCR), single strand conformation polymorphism (SSCP) and sequencing. No  $\beta$ -catenin mutation was detected in any of these tumors. Accumulation of aberrant  $\beta$ -catenin protein in cellular compartments in the same breast cancer samples was confirmed with a related experiment by immunohistochemical methods.

Our results suggest that genetic defects in  $\beta$ -catenin is not common in invasive ductal breast cancers, whereas mutations in other components of the Wnt signaling pathway should be considered.

## **4 GİRİŞ ve AMAÇ**

Kadınlarda meme kanserine bağlı ölümler, akciğer kanserinden sonra ikinci sırayı almaktadır. Avrupa ülkelerinde yılda 200,000, ABD’de yılda 211,300 yeni olgu saptanmaktadır.<sup>1</sup> Amerika Birleşik Devletleri’nde meme kanseri kadınlarda en sık saptanan kanserdir ve kanser ölümü nedenleri arasında ikinci sırada yer alır.<sup>2</sup> Amerikan Kanser Birliği’ne göre 2003 yılında tahmin edilen 1,334,100 kanser vakasının 556,500’ünün ölmesi öngörmektedir ve bu 556,500 kişinin 40,200’ünü meme kanseri vakaları oluşturmaktadır.<sup>1,2,3</sup> Yaşıla birlikte meme kanseri görülmeye insidansının artması 1940’lı yıllarda 1980’li yıllara kadar hafif bir artış göstermiştir. Ancak 1980-1987 yılları arasında bu artış üç kat olmuş ve 1992 yılına kadar aynı seviyede devam etmiştir.<sup>2,3</sup> Geç evrede meme kanseri tespit etme oranındaki düşme, erken evrede meme kanserlerini yakalama oranındaki bu artış tarama mamografilerinin yaygınlaşması ile açıklanmıştır.<sup>3</sup> Hastalığın gelişme riski yaş ile doğrudan ilişkili olup, yaş arttıkça hastalığın görülmeye sıklığı giderek artar. Meme kanseri 30 yaşından önce nadir olup, bu yaşı takip eden yıllarda hızlı bir tırmanış gösterir.<sup>4</sup> Menopoz dönemindeki hafif bir azalmayı takiben menopoz sonrası yıllarda yavaş eğimle sürekli devam eden bir artış ortaya çıkar. Bu nedenle 85 yaşındaki her dokuz kadından birinde meme kanseri gelişebilecegi beklenmektedir. Görülme sıklığında olduğu gibi mortalite de yaşa bağlı olarak artmakta ve 80 yaşındaki her 100,000 kadından 155 ’i meme kanserinden ölmektedir.<sup>1,4</sup> Dünyada meme kanserine bağlı mortalite ülkeden ülkeye değişmekte olup, İngiltere ve Galler’de en yüksek, Japonya ve Tayland’da en düşük seviyedendir.<sup>1</sup>

Meme kanseri tedavisindeki gelişmeler hastalığın morbiditesinde azalmaya neden olmakla birlikte mortalitede belirgin bir azalma sağlayamamıştır. Kitle taramaları ile meme kanserinin erken dönemde saptanması mortaliteyi önemli oranlarda düşürmeyi mümkün kılmaktadır.<sup>2</sup>

Meme kanserli bir hastanın kadın akrabalarında hastalığa yakalanma riski artmış olabilir. Anne, kız kardeş, kız çocuğunda olduğu kadar teyze, hala, kuzen ve büyükannelerde görülen meme kanseri kadınlardaki riski yükseltir. Ayrıca Li-Fraumeni sendromu, Cowden’s sendromu, Muir sendromu ve ataxia telangiectasia gibi bazı ailesel sendromların parçası olarak meme kanseri gözlemlenmiştir.<sup>12</sup> Yaşa dayalı risk

öngörüler, bu kişileri tanımlama ve tarama programları oluşturma açısından önemlidir. Meme kanserli hastaların %5'inde, tanımlanan, 17q21 kromozomunda yerleşik BRCA 1 (Breast Cancer Gene 1, Meme kanseri Geni 1) gen mutasyonu(-ları) olduğu öngörülmektedir.<sup>5</sup> Bunların akrabalarında, eğer BRCA 1 geninde germ hattı mutasyon(-ları) taşıyıcısı iseler, yaşam boyunca meme kanseri gelişim riski %50 oranında, 50 yaşın altında ise % 85 düzeyinde olabilir. BRCA 1 gen mutasyonu olan hastalarda over kanseri gelişim riski de yükselmiştir.<sup>5</sup> 13q12-13 kromozomunda yerleşik bir diğer gen BRCA 2 (Breast Cancer Gene 2, Meme Kanseri Geni 2) de meme kanseri için yüksek, over kanseri için göreceli daha az yüksek risk göstergesidir.<sup>6</sup>

Meme kanseri gelişimi ve ilerlemesi birçok genetik değişikliklerle ilişkilidir, bunlar proto-onkogenler ve tümör baskılacyjıcı genlerdeki değişiklikleri ve aynı zamanda henüz tanımlanmamış diğer genleri kapsar. Bu değişiklikler uygun olmayan hücre içi sinyal iletimini başlatabilir, bu da hücrenin kanserleşmesine yol açar, bu değişikliklerin bilinmesi tedaviye yönelik yeni yaklaşımların bulunması için gereklidir.<sup>7</sup>

“Wingless-type MMTV (Mouse mammary tumor virus) integration site family” (Wnt) yolağı evrimsel olarak korunmuştur ve embriyogenez sırasında bir çok olayı kontrol eder.<sup>26</sup> Bu yolağın hücresel kontrolü, hücrenin morfolojisini, proliferasyonunu, motilitesini düzenler. Bu yolağın uygunsuz aktivasyonları insanda çeşitli kanserler ile ilişkilendirilmiştir.<sup>28</sup> Wnt yolağında rol alan CTNNB1 ( $\beta$ -Catenin), “Adenomatous polyposis coli” (APC), AXIN gibi düzenleyici genlerdeki mutasyonlar kolorektal, hepatoselüler kanserler, melanomlar ve over kanserlerinde gösterilmiştir.<sup>74,78,96</sup>

$\beta$ -catenin, Wnt sinyal iletim yolunun merkezi elemanlarından biridir ve sitoplazmada Wnt'nin indüklediği  $\beta$ -catenin birikimi embryogenez ve normal gelişim için gereklidir. Wnt sinyal aktivasyonu ile glikojen sentaz kinaz 3 $\beta$  (GSK 3 $\beta$ ) inaktive olur, bu da  $\beta$ -catenin'in post-transkripsiyonel stabilizasyonuna ve bu proteinin sitoplazmik seviyelerinde artışa neden olur.  $\beta$ -catenin düzeyindeki bu artış, Wnt hedef genlerdeki (c-myc, Cyclin D1 ve WISP-1 (wnt inducible pathway protein) gibi) transkripsiyon artısına neden olmaktadır.<sup>31,36</sup> Bununla birlikte, Wnt sinyal yolağındaki multi-protein kompleksinin öncesinde yaralan proteinleri kodlayan genlerin değişimi ile tümör gelişimi tam olarak ilişkilendirilememiştir.<sup>44</sup>

Buna karşılık, Wnt sinyal yolağındaki multi-protein kompleksinde  $\beta$ -catenin ile bağlanan veya multiprotein kompleksi oluşturan bazı proteinler ile kanser çeşitleri ilişkilendirilebilmektedir.<sup>8</sup> APC genindeki mutasyonlar ile Familial adenomatöz polipozis (FAP) koli sendromu direkt ilişkilidir ve sporadik kolon karsinomlarının çoğunda bu gende veya proteinde bozukluklar saptanmıştır.<sup>74,78</sup> Yine  $\beta$ -catenin GSK 3 $\beta$  bağlanma bölgesindeki mutasyonlar da hepatosellüler, endometrial kanserlerde, melenomda, tiroid kanserlerinde, liposarkomda, pankreasın kistik ve solid tümörleriyle gastrik ve kolon kanserleriyle ilişkilendirilmiştir.<sup>75,78,82,87,90,92,93,94,99,100,101</sup>

$\beta$ -catenin NH2 ucu (ekson 3),  $\beta$ -catenin turnover düzenlenme mekanizması için önemli bir bölgedir. Bu bölgedeki 33, 37 ve 45. pozisyondaki serin ve 41. pozisyondaki threonin amino asitlerinin DNA da mutasyon ile değişmesi sonucunda sitoplazmik  $\beta$ -catenin birikimi olmakta, sitoplazmik  $\beta$ -catenin nükleusa geçerek bir transkripsiyon faktörü olan Tcf/Lef ile bağlanarak hedef genleri uyarmaktadır.<sup>52,55,60</sup> Buna karşın kolon kanserlerinde 183, 245 ve 287inci kodonlardaki (ekson 4, ekson 5, ekson 6) mutasyonların kanser gelişiminde önemli rol oynadığı gösterilmiştir.<sup>74</sup>

Çalışmamızda, daha önce çalışılmamış bir kanser grubu olarak meme “invaziv duktal karsinom” grubu seçilmiştir. Örneklem grubu meme karsinomu dokuları, Bozyaka Sosyal Sigorta Hastanesi Genel Cerrahi bölümünde 2002-2003 yılları arasında opere edilen ve yine Bozyaka Sosyal Sigorta hastanesi Patoloji servisinde invaziv duktal karsinom tanısı konmuş hastalardan sağlanmıştır. Bu tip kanser olgularının  $\beta$ -catenin ekson 3, ekson 4, ekson 5 ve ekson 6 bölgesindeki mutasyonlar SSCP (Single strand conformation polymorphism ) ve DNA dizi analizi ile değerlendirildi. Bununla birlikte  $\beta$ -catenin proteininin sitoplazmik yoğunmasını veya nükleus lokalizasyonunu göstermek için  $\beta$ -catenin düzeyi immünohistokimyasal olarak, bağlı diğer bir araştırmada değerlendirilmiştir.

Çalışmamızda elde edilen tüm verilerin, klinik ve patolojik verilerle karşılaştırılarak değerlendirilmesi amaçlanmaktadır.

## **5 GENEL BİLGİLER**

### **5.1 Meme Kanserleri:**

Meme kanserleri kadınlarda en sık görülen kanser olarak %30 ile birinci sırayı alırken kadınlarda ölüm nedeni olarak da %16 ile yine birinci sırayı almaktadır.<sup>1,2</sup> Amerika Birleşik Devletlerinde 2003 yılına ait istatistik verilerine göre, bu yıl 211,300 yeni vaka görülebileceği ve 39,800 vakanın da bu hastalıktan kaybedilebileceği öngörülmektedir.<sup>2</sup> Meme kanserine bağlı mortalite hızı yıllara göre sabit kalmakta, ancak meme kanseri görülme oranı hastalığın tanısındaki gelişmelere paralel olarak gittikçe artmaktadır. Bu konuda rakamsal bir gösterge olarak, örneğin Amerika Birleşik devletlerinde 1960 yılında her yirmi kadından biri hayatının bir döneminde meme kanserine yakalanma riskine sahipken bu oran 2003 yılında sekizde birdir.<sup>4</sup> Görülme sıklığındaki bu artışa, uygulanan mamografik tarama yöntemlerinin gün geçtikçe yaygınlaşmasının neden olduğu bildirilmektedir. Görülme sıklığındaki bu artışa rağmen mortalite hızının sabit kalması ise hastaların çok daha iyi tıbbi bakım koşulları ve adjuvan terapi yöntemlerinin uygulanmasına bağlanmaktadır.<sup>1,2,4</sup>

Ülkemizde, kanser olgularının bildirimi 1982 yılında zorunlu hale gelmiştir. Bu tarihten itibaren bildirimler Kanserle Savaş Daire Başkanlığı'na yapılmaktadır. Ancak bugünkü bilgiler Türkiye genelini temsil etmeyen, sınırlı, kanser insidanslarına ait bilgilerdir. Ölümler yalnızca il ve ilçe merkezlerinden bildirilmektedir. Bu nedenle ölüm bildirimleri eksiktir. 1996'da sağlık bakanlığına 3755 olgu bildirilmiştir. Buna göre insidans yüz binde 21.07 olarak hesaplanabilir. Ancak bu, nüfusa göre beklenen rakamın çok altındadır.<sup>9</sup>

Ülkemizde İzmir ilinde İzmir Kanser İzlem ve Denetim Merkezi (KIDEM) tarafından yapılan çalışma ile, İzmir ili hastanelerinde kanser teşhisi konmuş 1 Mayıs 1992 ile 30 Kasım 1999 tarihleri arasında bildirilen 25,790 kanser olgusunda 9,677 kadın olgunun %27.6'sı (2,763) meme kanseri teşhisi almıştır.<sup>10</sup>

Meme kanseri en çok menopoz dönemi ve menopozdan sonra görülmekte olup 50 yaşından önce seyrek, 60 yaş üzerinde siktir. Meme kanserinde ırksal faktörler önem taşımaktadır. Bu bağlamda meme kanseri zenci kadınlarda beyazlara göre daha seyrek görülmektedir.<sup>1,2</sup> Meme kanserli Afrika kökenli Amerikan bireylerde

daha kısa yaşam süresi, düşük sosyoekonomik durum ve tedaviye ulaşım şanslarının düşük olmasından kaynaklanmıştır. Bununla birlikte İspanyol kökenli Amerikalıların eşit sosyoekonomik durumda ve eşit tedavi koşullarındaki beyazlar ile kıyaslandığında daha yüksek yaşam süresine sahip oldukları belirlenmiştir.<sup>2</sup> Bir başka epidemiolojik parametre de farklı coğrafi bölgelerde gözlenen meme kanserine bağlı ölüm oranlarındaki değişmedir. Örneğin Avrupa ülkelerinde meme kanserlerine bağlı ölüm oranları daha fazla iken, Asya ülkelerinde bu oran daha düşüktür.<sup>1</sup>

#### **5.1.1 Meme kanseri risk faktörleri:**

Bazı özellikleri taşıyan kadınlarda, meme kanserinin daha sık görüldüğü bilinmektedir. Bu özelliklere risk faktörleri denmektedir. Bu risk faktörlerini taşıyan kişilerin mutlaka meme kanserine yakalanacakları söylenemez.<sup>12</sup> Sadece, bu faktörleri taşımayanlara göre, daha fazla meme kanserine yakalanma olasılıkları olduğu bilinmektedir. Bu faktörleri taşımayan kişiler de meme kanserine yakalanabilirler. Meme kanserine yakalanan kadınların yarısı, bu risk faktörlerini hiç taşımamaktadır. Bu nedenle, risk faktörlerinin taşımayan kişiler de olağan kontrollerini yaptırmalıdır. Meme kanserine yakalanma riskini artıran faktörleri kısaca şu şekilde sayılabilmektedir;

**Yaş:** İleri yaş önemli bir risk faktöridür. Yeni meme kanseri tanısı konan kadınların % 70'i, 50 yaş üzerindedir. Diğer bir deyimle, yaşı 50 yaş üzerinde olan kadınlarda meme kanseri görülmeye sıklığı, yaşı 50 yaşın altında olan kadınlardan 4 kat daha fazladır.<sup>11</sup> Bu nedenle, 50 yaş üzerindeki her kadın, mutlaka yılda bir defa hekime baş vurarak muayene olmalı ve mamografi filmini çekirmelidir.

**Kişisel meme kanseri hikayesi:** Daha önce meme kanseri geçirmiş ve tedavi olmuş kadınlarda, diğer memede kanser gelişme olasılığı normal kadınlara göre 3-4 kat daha fazladır.<sup>12</sup>

**Ailede meme kanseri hikayesi:** Ailesinde birinci derece yakınları arasında meme kanseri görülmüş kadınların, meme kanserine yakalanma olasılığı, diğer kadınlara göre daha fazladır.<sup>13</sup> Örneğin, kız kardeşi veya annesi meme kanserine yakalanan bir kadının, meme kanserine yakalanma riski, diğer kadınlardan 2- 5 kat daha fazladır.<sup>14</sup>

**Daha önce meme biyopsisi yapılmış olması:** Memede bir kitle nedeni ile biyopsi yapılmış ve iyi huylu bir tümör saptanmış olabilir. Bazı iyi huylu tümörlerin bulunması, kanser gelişme riskini değişik oranlarda artırabilmektedir. Bu, tümörün hücresel yapısına göre değişir. Örneğin, yapılan bir biyopside, çıkartılan kitlenin patolojik incelemesi sonucu atipik hiperplazi tanısı konmuş kadınlarda, meme kanseri gelişme oranı normal kadınlara göre daha fazladır.<sup>12,13</sup>

**Fertil çağ süresi:** Adet görmeye erken başlanması, menopoza geç gitmesi, fertil çağrı uzatmaktadır. Bu sırada kadın daha uzun süre östrojen hormonu etkisi altında kalmakta, meme kanseri gelişme riski artmaktadır.<sup>15,16</sup>

**Doğurganlık hikayesi:** İlk çocuğu doğurma yaşı önemlidir. İlk çocuğunu 30 yaşından sonra doğuran kadınlarda meme kanseri görülme oranı 20 yaşından önce doğuranlara göre iki kat fazladır. Hiç çocuk doğurmayan kadınlarda risk hafif yükselmektedir.<sup>16</sup>

**Sosyoekonomik seviyenin yüksekliği:** Varlıklı, sosyoekonomik düzeyi yüksek olan kadınlarda, meme kanseri görülme oranı daha fazladır. Bu ailelerin kızları daha iyi beslendikleri için daha erken gelişmekte ve erken yaşta adet görmeye başlamaktadır.<sup>17</sup> Ayrıca bu çocuklar büyüdükleri zaman eğitim ve iş nedeni ile daha geç evlenmekte ve daha geç çocuk sahibi olmaktadır. Bu nedenlere bağlı olarak fertil çağın erken başlaması, geç doğurma gibi nedenler sebep olarak sayılabilir. Ayrıca bunların dışında başka faktörler de rol almaktadır.

**Östrojen hormonu tedavisi görenler:** Menopoz nedeni ile uzun süre östrojen tedavisi ( 10 yıldan fazla) gören kadınlarda, meme kanseri riski artmaktadır.<sup>18,19</sup>

**Doğum kontrol hapı kullanılması:** Bu konuda farklı görüşler olmakla birlikte hafif bir risk artışı olduğu ileri sürülmektedir. On yıl önce doğum kontrol hapını bırakmış olan kadınlarda ise, bu risk tamamen ortadan kalkmaktadır.<sup>19</sup>

**Alkol kullanılması:** Fazla alkol alan kadınlarda, almayan kadınlara göre risk nispeten artmaktadır. Günde üç bardak yüksek dereceli alkol içen bir kadının meme kanserine yakalanma riski, hiç içmeyen kadına göre iki kat daha fazladır.<sup>20</sup>

**Yaşam biçimi:** Şişmanlık ve yağlı beslenme: Bazı çalışmalarda şişmanlığın, özellikle 50 yaş üzerindeki kadınlarda meme kanserine yakalanma riskini artırdığı gözlenmiştir. Özellikle, doymuş yağların fazla bulunduğu yağlı et gibi yemekler ve

yağlı süt ürünlerinin fazla alınmasının bu riski artırdığı ileri sürülmüştür. Sigaranın kesin bir etkisi gösterilememiştir.<sup>21</sup>

### **5.1.2 Meme kanserlerinde prognostik belirleyiciler:**

Meme kanserinde prognostik faktörler üç klinik drumda kullanılmaktadır. Birincisi, sistemik adjuvan terapisi gerekmeyen ve lokal cerrahi gerektiren iyi prognozlu hastaları saptamak; ikincisi, konvensiyonel terapi gerektiren kötü prognozlu hastaları belirtmek; üçüncüsü, tüm bu hastaların özgül terapilerden yararlanıp yararlanmayacaklarını göstermektir.<sup>22</sup> Meme kanserlerinde prognostik belirleyiciler olarak birçok klinikopatolojik veri çalışılmakta ve bu konuda literatürde çok sayıda çalışma bulunmaktadır. Bunlar arasında önemli olan prognostik belirleyiciler; Tümör boyutu histolojik evresi, lenf nodu metastazı, uzak organ metastazı ve steroid hormon reseptörü aktiviteleridir.

**Tümör boyutu:** Meme kanserinin evrelendirilmesi, tümörlerin klinik değerlendirilmesinde ve tedavi seçeneğine karar verilmesinde önem taşımaktadır. Primer tümör büyülüğu sağ kalım açısından en önemli ölçütlerden biridir. 2cm altındaki tümörlerin iyi prognoza sahip oldukları bilinmektedir. 2cm ile 5 cm arası tümörler orta, 5cm den büyük tümörler kötü prognoza sahiptirler.<sup>23</sup>

**Histolojik tür:** İnvaziv duktal ve İnvaziv lobüler karsinomlara göre, tübüler, medüller, müsinöz, adenoid kistik, papiller, jüvenil (sekretuar) karsinom daha iyi prognoza sahiptir. İnflamatuar karsinom (klinik), taşılı yüzük hücreli karsinom, karsinokarsinom, ise oldukça kötü prognozludur. Skuamöz hücreli, metaplastik karsinom, nöroendokrin diferansiyasyon gösteren karsinomlar, İnvaziv duktal karsinoma göre daha agresiftirler.<sup>24</sup>

**Tümör TNM evresi:** Evrelendirme klinik ve patolojik kriterlere göre yapılmaktadır. Evrelendirme her hasta için tedavi şeklinin seçiminde, прогнозun tahmininde, farklı tedavi programlarının sonuçlarının karşılaştırmasında önemlidir. Kanser evrelendirilmesi, "American Joint Committee on Cancer" (AJCC) tarafından belirlenmiştir.<sup>25</sup> Klinik evrelendirme, fiziksel muayene, görüntüleme bulguları, cerrahi bulgular ve memenin ya da diğer dokuların patolojik değerlendirmesi sonucu elde edilen bulgulara göre yapılır. Klinik evrelendirme terapinin seçilmesi ve değerlendirilmesinde yararlı olur. Patolojik evrelendirme ve klinik evrelendirme

cerrahi rezeksyon için büyük önem taşır. Patolojik evre ise, sonuçları değerlendirmede ve прогнозu tahmin etmede önemli bir yer tutar. İnvaziv karsinomların aksiller lenf nodu pozitifliği insidansının noninvaziv karsinomlardan daha yüksek olduğu ve zayıf klinik iyileşme gösterdiği belirtilmiştir.<sup>22</sup>

**Steroid hormon reseptör aktivitesi:** Meme kanserli kişilerin tümör dokularında immünohistokimyasal olarak, östrojen reseptörü (ER) ve Progesteron reseptörü (PR) aktivitesinin gösterilmesi, tedavi öncesi hastanın klinik değerlendirilmesinde standart bir aşama olarak uygulanmaktadır. ER ve PR aktivitesi olan hastaların %55-60'ı hormon tedavisine yanıt verirken, bu oran reseptör aktivitesi olmayanlarda %10 dur.<sup>22</sup>

**Hücre proliferasyonu:** Mitoz sayımı, Ki-67 yada akış sitometrisi yöntemi ile S-faz fraksiyonunun ölçülmesi ile belirlenen hücre proliferasyonu прогноз açısından önem taşımaktadır. Ki-67 büyümeye fraksiyonu ne kadar çok ise tümör agresifliği de o kadar çoktur. Tartışmalı olmakla birlikte anaploid tümörlerin daha kötü прогнозlu olduğu bilinmektedir.<sup>22</sup>

**Yaş:** Meme kanserlerinde erken yaş (35 yaş altı) kötü prognostik etki göstermektedir. Fakat bazı kayınlarda ise bu yaş grubundaki meme kanserli olgularda tedavi sonrası прогноз, ileri yaştaki olgulardan farklılıklar göstermemektedir.<sup>11</sup>

## **5.2 Karsinogenezde Major genetik değişiklikler:**

Hücre döngüsü, çoğalmak üzere uyarılmış bir hücrede gerçekleşen ve bir dizi geçici biyokimyasal aktivitelerin ve morfolojik değişiklıkların görüldüğü bir süreçtir. Bir döngüye giren hücre, morfolojik ve genetik olarak birbirine tıpa tıpta benzeyen iki hücre oluşumuyla döngüyü tamamlar. Hücre proliferasyonu hücre döngüsü içinde yer alan bazı kontrol noktaları ("check-points")ında düzenli olarak kontrol edilir. Hücre döngüsü proliferasyon, farklılaşma (diferansiyasyon) ve apoptozis gibi temel hücresel fonksiyonları düzenlediğinden büyümeye ve doku "turnover"ıyla yakın ilişki içinde bulunur. Bu düzenleme özelliğinin olması organizmadaki hemen hemen her tür fizyolojik ve patolojik durumlarda hücre döngüsünün ne kadar kritik bir öneme sahip olduğunu göstermektedir. Bir çok kanser türünde hücre döngüsünün regülatör proteinleri olan siklinler veya siklin-bağımlı kinaz inhibitörleri (CDI)'nin düzeylerinde

anormallikler saptanmıştır.<sup>12</sup> Örneğin, siklin D meme ve skuamoz hücre tümörlerinde aşırı ekspresse olmaktadır. Bir tür CDI geni olan p16 geninin ailesel melanom ve pankreatik kanser olgularında rearranje olduğu bulunmuştur.<sup>12</sup> Apoptoz, nekrozdan farklı olarak, fizyolojik şartlar altında da meydana gelen ve genel olarak doku homeostazını sağlayan bir hücre ölüm şeklidir. Ayrıca, fizyolojik hücre ölümü veya hücre intiharı olarak da bilinmektedir. Apoptoz ve hücre döngüsü birbirleriyle kompleks ve yakın bir ilişki içinde çalışırlar. Örneğin apoptozda rol alan bir protein olan p53 aynı zamanda hücre döngüsünü durdurmak ve hücreye DNA'sındaki hasarları onarması için zaman kazandıran bir işlev görür. Apoptoz organizmada proliferasyonla denge halinde, birçok dokuda doğal olarak oluşturmaktadır. Primatlarda embriyogenetik dönemde var olan parmaklar arası perdelerin ve "tadpole" kuyruklarının kaybolması buna örnek olarak verilebilir. Bunun sonucunda apoptoz ve proliferasyon ile dokunun hücresel içeriği sayısal olarak hep aynı kalır. Böylece doku homeostazı yani yeniden yapım ve yıkımın bir harmoni içinde oluşu apoptoz/proliferasyon dengesinin sağlıklı bir şekilde sürdürülmesine bağlıdır. Araştırmalarda bu dengenin bozulmasının birçok önemli hastalık patogenezinde rol aldığı gözlenmiştir. Örneğin, bu dengenin apoptozun hızlanması yol açacak biçimde bozulmasının Alzheimer hastlığı gibi bazı nörodejeneratif hastlıkların veya AIDS'in patogenezinde, apoptozun baskılanmasına yol açacak şekilde bozulmasının ise karsinogenezde rol aldığı gösterilmiştir.<sup>12</sup>

Karsinogenez çok basamaklı bir süreçte değişik karsinojenlerin (kimyasal, fiziksel veya viral) etkisiyle oluşan genetik ve epigenetik hasarlanmalarla gerçekleşir. Kanserlerde oluşan genetik değişiklikler kromozomal düzeyde, nükleotid düzeyinde (tek veya çoklu baz değişiklikleri) ya da DNA promotor bölge metilasyonu gibi epigenetik düzeyde oluşabilmektedir. Kanser hücresinin büyümeye ve çoğalma sürecinde meydana gelen genetik değişiklikler (onkogenler ve tümör baskılıyıcı genler), konakçı faktörleriyle (enzim polimorfizmleri) tümör konakçı etkileşimleri (ajiyogenetik, invazyon, metastaz) sonucunda organizmada tümör oluşturmaktadır.

Karsinogenezdeki Majör genetik olaylar şöyle sıralanabilir.

- Onkogenlerin mutasyonel aktivasyonu.
- Tümör baskılayıcı genlerin inaktivasyonu.
- Mutatör gen inaktivasyonu (mutatör fenotip)

### **5.2.1 Onkogenlerin mutasyonel aktivasyonu.**

1969'da Huebner ve Tadora ilk olarak kanser gelişiminde onkogenlerin rolünün olabileceğini ileri sürmüşlerdir. Onkogenler, protoonkogen denen normal hücresel genlerden gelişir. Proto-onkogenlerin kodlanmış protein ürünleri genel olarak hücre sinyalizasyonu ve hücre büyümesinin düzenlenmesinde önemli rol oynar. Bu genler mutasyon, kromozomal translokasyon, 'amplifikasyon' (çoğalma) veya transkripsyonel disregülasyon ile aktive olarak anormal protein sentezine veya aşırı protein yapımına neden olur. Aktive olan proto-onkogenlere onkogen, protein ürünlerine ise onkoprotein denir. Proto-onkogenler, hücre içi sinyal ileticileri, nükleer transkripsiyon faktörleri, hücre döngüsünü kontrol eden proteinler, büyümeye faktörleri, hormonlar ve reseptörleri olmak üzere sınıflanabilmektedirler.

Proto-onkogenler değişik yollarla aktive olarak onkogen haline gelirler. Genin yapısal bir bölgesinde değişiklik sonucu farklı fonksiyon gören bir protein sentezlenebilir. Bu tip değişiklikler nokta mutasyonları veya kromozomal translokasyon sonucunda oluşur.<sup>3</sup> Bir başka mekanizma da, genin ekspresyonunu düzenleyen bölgede oluşan bir değişiklik veya transkripsiyon faktörlerindeki değişiklik sonucu, yapısal olarak normal olmasına karşın gen ürününün aşırı miktarda üretilmesidir. Diğer bir mekanizma ise gen amplifikasyonu sonucu ürün miktarındaki artışıtır.<sup>8</sup>

### **5.2.2 Tümör baskılayıcı genlerin inaktivasyonu.**

Tümör baskılayıcı genler hücrenin büyümeye ve çoğalmasını baskılayan bir grup gendir. Tümör baskılayıcı genlerin sentezlettikleri proteinlerin hücrelerin büyümeye ve çoğalmasını baskılaması nedeniyle bu genlerin dolayısı ile baskılayıcı proteinlerin olmaması sonucunda hücre kontrollsüz bir şekilde çoğalmaktadır. Tümör baskılayıcı genleri bir otomobilin fren pedalına benzetmek mümkündür. Freni bozulmuş bir otomobilin kontrolden çıkması gibi tümör baskılayıcı genini kaybetmiş hücre de

büyüme ve çoğalma kontrolünü kaybetmiştir. Normal bir hücrede bir çift halinde bulunan bir tümör baskılıyıcı genin her iki allelinin kaybolması veya görev göremez derecede değişikliğe uğraması kansere neden olmaktadır.<sup>58</sup> Bu genlerin allelerinden birinin doğuştan aktivite kaybettiği bireyler yüksek kanser riskine sahip kişilerdir. Genin tek allelinin varlığı kanseri önlemek için yeterlidir. Bu nedenle bir ebeveynden gelen allelinindeki bozukluk kanserle sonuçlanmamaktadır. Fakat, ikinci allelde de bir değişiklik olursa kanserleşme süreci başlamaktadır.<sup>44</sup>

TP53 geni insan kanserlerinde mutasyonu en sık görülen tümör baskılıyıcı gendir. Bu genin ürünü olan p53 proteini birçok kompleks aktivitesi olan ve gereğinde hücre döngüsünü baskılanan bir proteindir.<sup>68</sup> Bu protein yanlış eşleşmiş nükleotidleri DNA sarmalı kırıkları gibi DNA lezyonlarını ve ayrıca radyasyon veya kemoterapi ile oluşan DNA hasarlarını algılayan proteinlerle etkileşir. DNA'daki mutasyon saptandığında, p53 hücre döngüsünü durdurur, böylece hücrenin G1 den S fazına geçişini veya S'nin tamamlanmasını engeller. Ardından, ya tamir mekanizması proteinlerini ya da apoptoza yol açan proteinleri indükler.

Retinoblastoma (RB) geni ilk bulunan tümör baskılıyıcı gendir. Bu gen hücresel diferansiyasyonda çok önemli bir role sahiptir. Normalde RB geni hücre döngüsünü G1 fazında inhibe eder. P16-siklin D1/CDK 4-6-RB yolu hücre döngüsünün G1'den S fazına geçişte önemli görevlere sahiptirler. Bu yoldaki proteinlerin fonksiyon bozukluğu mitojenik aktivite ile sonlanır.

### **5.2.3 Proto-onkogen ve Tümör baskılıyıcı gen örneği**

Bir hücrenin canlılığınıın en belirgin göstergelerinden biri onun birbirine tipa tip benzeyen iki hücreye bölünmesidir. Genel olarak, hücreler bir bölünme sinyali almadıkları sürece hücre döngüsünün aktif (G1, G2, S ve M) fazlarına girmezler ve istirahat fazı 'G0' da beklerler. Hücrelerin ikiye bölünmesi mitoz (veya gonadlarda mayoz)'le gerçekleşir. Hücreyi bölünmeye sevk eden sinyaller (örneğin, büyümeye faktörleri, sitokinler veya mitojenler) çok çeşitlidir. Hücre bölünme sinyalini aldığında sinyal ileti kaskatı (signal transduction cascade) adı verilen bir ileti mekanizması devreye girer. Bu ileti mekanizması ya transkripsiyonu, hücre döngüsünü veya hücre iskeletini kontrol eden bir substrati fosforiller yada nükleusa ulaşıp doğrudan transkripsiyonu modüle eder. Böylece, hücre döngüye sokularak bölünmeye sevk

edilmiş olur. Hücreler mitoza girmeden önce bir hazırlık safhası geçirirler ve bu safhada hücreler hacimce büyürler. Bu hazırlık safhasında bölünme için gerekli olan çeşitli düzenleyici proteinler sentezlenir. Bu safhaya da interfaz denir. İnterfaç kendi içinde G1, S, ve G2 alt birimlerinden oluşur. Mitoz ve interfaz beraberce hücre döngüsü olarak bilinen bir süreci oluştururlar. Dolayısıyla, bir hücre döngüsü, fazların işleyiş sırasına göre söylemek gerekirse; G1, S, G2 ve M fazlarından oluşur. Hücre döngüsü bu döngüye özgü bir takım proteinler olan siklinler, siklin-bağımlı serin/treonin protein kinazlar (CDK) ve siklin-bağımlı kinaz inhibitörleri (CDI) tarafından özgün olarak kontrol edilir. Siklinler, CDK ve CDI'lerinin düzeyleri hücre döngüsünün çeşitli aşamalarında farklılık gösterir ve oldukça kompleks bir düzen içinde döngünün ilerlemesini düzenlerler. CDK'lar kendi başlarına bulunduklarında inaktiftirler. Ancak, siklin'e bağlandıklarında aktifleşirler ve böylece aktif siklin-CDK kompleksleri meydana gelir. Siklinler bu komplekslerin regülatör alt birimleri, CDK'lar ise katalitik alt birimleridir. Siklinler (A, B1, D ve E) döngünün çeşitli fazlarında periyodik olarak bir taraftan sentez edilirlerken diğer taraftan da yıkılırlar. Hücre döngüsü aktivasyonu yoluyla etkili olan ve bu nedenle proto-onkogen grubunda yer alan bu genlerin ürün miktarı ve ekspresyon kontrolü hücre için yaşamsal önemlidir. Siklinlerin periyodik yapım ve yıkımı, dolayısıyla ilişkide bulundukları CDK (CDK2, CDK4, CDK5, CDK6, CDK7 ve CDK25)'ların aktivitelerinin düzenlenmesini sağlar. CDK'ların aktiviteleri sadece siklinlerle düzenlenmez ayrıca özgün fosforilasyon/defosforilasyona yol açan başka yollarla da düzenlenir.<sup>11</sup>

Tümör baskılıyıcı genlerden olan CDI'leri (p15, p18, p19, p21 ve p27) ise ya siklinlere, ya CDK'lara yada siklin-CDK komplekslerine bağlanarak CDK'ların aktivitelerini inhibe ederler.<sup>12</sup> Hücredeki siklin düzeyi transkripsiyon aşamasında regule edilir. Yıkımları ise "ubiquitin" metabolik yoluyla sağlanır. D tip (D1, 2, 3) siklinler başlama siklinleri olarak adlandırılırlar ve büyümeye faktörleri veya mitojenlere yanıt olarak eksprese edilirler. Mitojenler ortamdan uzaklaştırıldığında ise hızla yıkılırlar. Siklin E, G1/S fazlarının sınırında geçici olarak sentez edilir ve hücre S fazına girdiği anda hızla yıkılır. Siklin E, CDK2'yi regule eder. Siklin A ve B1 mitotik siklinlerdir. Siklin A, S fazı boyunca sentez edilir ve anafaz geçisi için hızla yıkılır. Siklin A, CDK2 ile kompleks yapar ve bu kompleksin DNA replikasyonunda direkt rolünün olduğu düşünülmektedir. Siklin B1 ise S fazının geç döneminde sentez edilir

ve G2 fazından M fazına geçerken sentezi maksimal düzeye erişir, ardından anafazda yıkılır. Siklin B, CDK2 ile etkileşime girer ve bu kompleks MPF ("M-phase/maturation promoting factor") olarak da bilinir. Siklin B'nin anafazda yıkılmasıyla birlikte hücre mitozdan çıkar ve G1'e ilerler.<sup>12</sup>

Hücre döngüsü düzenlenmesinde görev ve proto-onkogen/ tümör baskılıyıcı gen grubundan olan bu genlerde ortaya çıkan değişiklikler bu kontrol noktalarının düzenlenmesini bozarak kontrollsüz hücre proliferasyonuna neden olmaktadır.

Kanser hücreleri, çeşitli büyümeye faktörleri üretirler. Bu büyümeye faktörlerinin hücre yüzeyindeki reseptörleriyle etkileşimi sonucunda kendi büyümelerini otokrin yollarla uyarırlar. Neoplastik hücrelerin birçok büyümeye faktörünün salınımı ile çoğalma avantajı sağladıkları bilinmektedir.<sup>12</sup>

Pek çok büyümeye faktörü ve reseptörleri kanser hücreleri ve normal hücreler tarafından ekspres edilmektedirler. Bu büyümeye faktörleri otokrin, parakrin ve endokrin yollarla kanser büyümesinde rol oynarlar. Eğer bir tümör hücresi, hem bir büyümeye faktörü hem de reseptörünü taşıyorsa kendisini uyaran büyümeye halkasına sahip demektir. Buna 'Otokrin Büyümeye Halkası' denir. Otokrin etki normal hücrelerde de görülür, ancak bu yolda yer alan proteinleri kodlayan ve çoğu proto-onkogen veya tümör baskılıyıcı gen gurubunda bulunan genlerde değişiklik sonucu farklı bir aktivite gelişebilir.<sup>113</sup> Dengeli büyümeye için karşılıklı düzenleyici sistemler bir arada bulunur. Kanser hücrelerinde ise bu dengeler bozulmuştur. Ancak tek bir büyümeye faktörü kanser gelişimini düzenlemez. Pek çok büyümeye faktörü ve reseptörü "multiotokrin loop" oluşturarak etki gösterirler. Metastaz ve invazyonun da bu büyümeye faktörleri ve reseptörlerinin etkileşimi sonucunda ortaya çıktıği bilinmektedir.<sup>7</sup>

#### **5.2.4 DNA tamirinde görev alan genlerde ortaya çıkan değişiklikler.**

İnsanlarda gelişen kanserlerin % 80'inde neden çevresel faktörlerdir. Gerek endojen gerekse ekzojen karsinojenler ve genotoksik olaylara maruziyet, DNA'da hasara neden olurlar. Normal koşullarda hücre döngüsü yavaşlar ve bu yavaşlama sürecinde hücreler DNA hasarını tamir etme fırsatı bulurlar. DNA tamiri normal hücre döngüsünün devamı için esastır ve hatalı DNA tamiri karsinogenez gelişiminden sorumlu önemli bir faktördür. Tamir genlerinde, germ hattında taşınan bir mutasyon

olması halinde bireyin mutasyon riski ve hızı artar. Sonuç olarak proto-onkogen/tümör baskılıyıcı genlerinde mutasyon olasılığı ve dolayısı ile kanser riski artar.

Hücresel karsinogenezde, hücre döngüsü ve regülasyonu, hücre sinyal iletimi, apoptoz, protein yıkımı ve hücre diferansiyasyonu gibi mekanizmaları denetleyen genler, dominant ya da resesif etkili oluşlarına göre sırasıyla proto-onkogen veya tümör baskılıyıcı gen olarak nitelendirilmektedir. DNA onarım genleri de tümör baskılıyıcı genler gibi davranışlarına rağmen, ailesel kanserlerde süreci hızlandırmaları ve riski artırmaları nedeniyle ayrı bir gurup olarak (mutatör genler) değerlendirilirler. Kanserin özünü oluşturan kontrollsüz hücre çoğalması yukarıda bahsettiğim gibi hücrenin hatalı Mitoz uyarımı olmasıyla yakın ilişkidir. Hatalı uyarı olma ya da hatalı sinyal iletimi, sinyal iletim yollarında görev yapan çeşitli proteinlerin aktivitelerinin artması yada azalmasıyla doğrudan ilişkilidir.

### **5.3 WNT Sinyal yolu:**

İlk belirlenen Wnt geni, Mouse Wnt-1 (Int-1), fare meme tümörü virüsünün entegrasyonu ile meme tümörünü aktive etmesi nedeniyle 1982 yılında proto-onkogen olarak tanımlanmıştır.<sup>26</sup> Bunun sonucunda 1980 lerde Wnt genlerinin potansiyel kanser yapıcı etkileri çalışmaya başlamıştır.<sup>27,28</sup> “Drosophila segment polarity gene Wingless (wg)” nin moleküller olarak tanımlanması ve Wnt-1 geninin insan homoloğunun gösterilmesinden sonra, Wnt geninin, memeli doku ve organ farklılaşmasında önemli düzenlenmelerde rol aldığı tanımlanmış oldu.<sup>29,30</sup> Günümüzde 100 kadar Wnt geni; insan, nematod (*Caenorhabditis elegans*), ve basit bir metazoan olan *hydra*’dan tanımlanmış ve izole edilmiştir. Tüm bu Wnt proteinleri, hücrelerden sekrete edilirler ve yine kendi hücre yüzey reseptörlerine bağlanarak hücre akibetini veya diğer farklılaşma parametrelerini kontrol ederler.<sup>31</sup>

Fertilize olan yumurta hücresinden kompleks çok hücreli organizmanın gelişimi, karmaşık ve gelişmiş sinyal yolları tarafından sıkıca kontrol edilmektedir. Bu eksiksiz sinyal yolları, Hedgehog, Tgf- $\beta$ , Wnt ailesi gibi salgılanan faktörleri içermekte, bir çok basamakta kontrol altında tutulmaktadır.<sup>31,32</sup> Bununla birlikte, bu kontrolün bozulması veya sürekli olarak uygunsuz bir şekilde aktivasyonu çeşitli kanserlerin ortaya çıkması ile ilişkilendirilmiştir. Yüksek derecede korunmuş olan Wnt proteinleri Wnt sinyal yolağını yönlendirirler ve hücre adezyonu, hücre polaritesi,

hücre hareketi ve gelişim genlerinin ekspresyonlarının düzenlenmesi gibi hücrenin bölünmesinden ölümüne kadarki birçok önemli mekanizmayı düzenlerler.<sup>32</sup>

Sekrete Wnt ligandının frizzled (Frz) ailesi üyesi olan reseptörüne bağlanması ile bu çok korunmuş sinyal yolu aktive olur. Wnt nin Frz reseptörüne bağlanması ile üç farklı hücresel yolak aktive olur. Bunlar Wnt/Ca<sup>2+</sup> yolu, düzlemsel hücre polaritesi (PCP) yolu ve Klasik Wnt yoluğudur.<sup>31,33,34,35,36</sup>

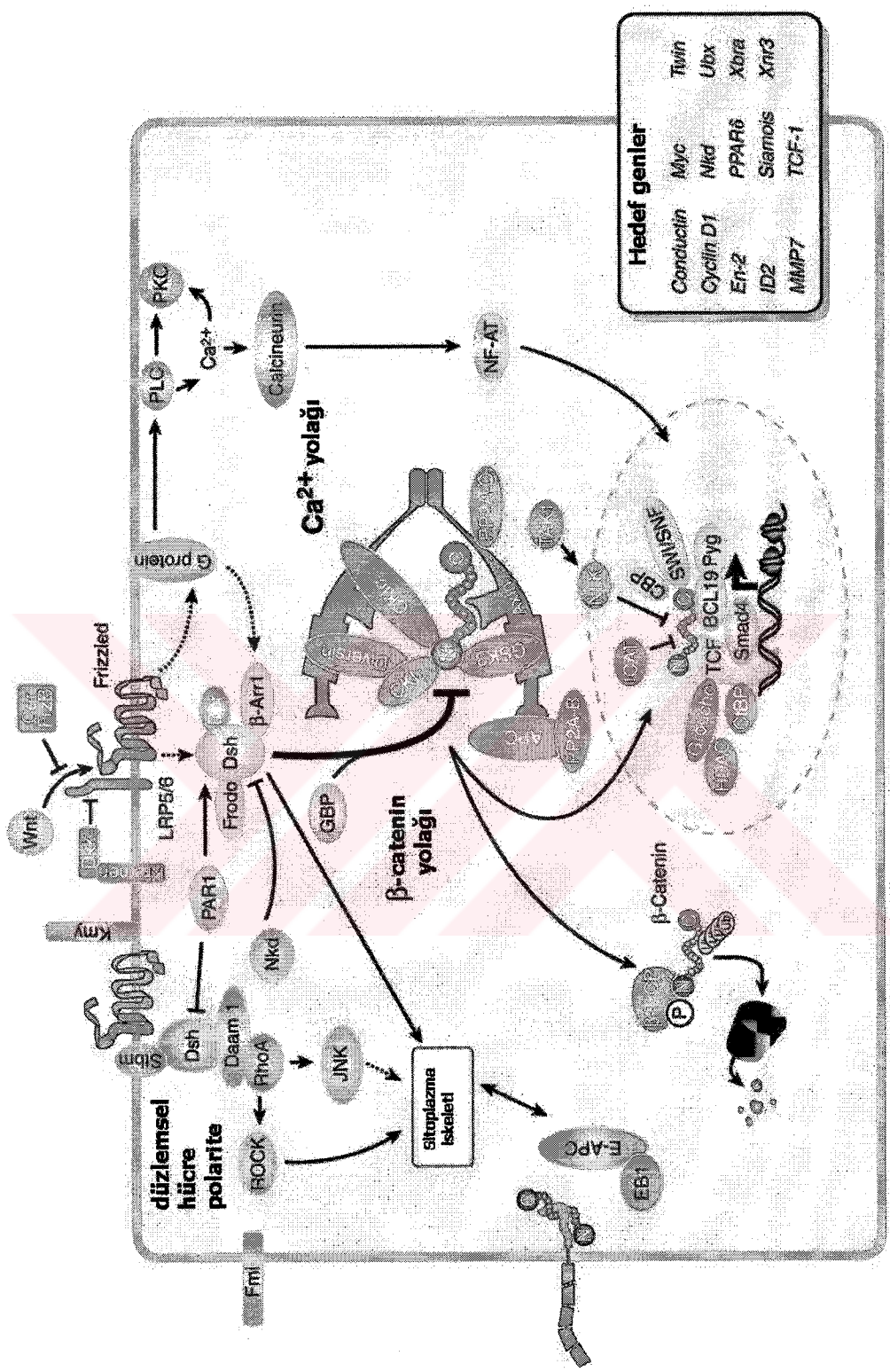
Wnt/Ca<sup>2+</sup> yolu, fosfolipaz C aktivasyonunu ve Ca<sup>2+</sup> düzeyini yükseltir. Bu da “Protein kinaz C” ve “Ca<sup>2+</sup>-Kalmodulin bağımlı protein kinaz II’yi” aktive eder. Hücre içi Ca<sup>2+</sup> iyonu yükselmesi “fosfataz Kalsinörin’i” aktive eder ve bir transkripsiyon faktörü olan NF-AT nin fosforilasyonuna neden olur. Bu fosforilasyon ile NF-AT nükleusa geçer ve bu işlem sonunda NF-AT hedef genleri aktive olur.<sup>32,37,38</sup>

Düzlemsel hücre polarite (PCP) yolu Rho A, Rac ve c-Jun amino-terminal kinaz (JNK) gibi küçük GTPaz’lar yoluyla etki gösterir. Wnt’nin Frizzled reseptörüne bağlanması JNK’i aktive eder, asimetrik Hücre iskeleti organizasyonunu yönlendirir ve hücrelerin epitelyal kılıf planı içinde polarizasyonunu koordine eder.<sup>39</sup> Bu yolak, cadherin-iliskili transmembran molekül olan Fmi’yi (flamingo), proteoglikan Kny’i (knypek), ve PDZ (PDZ aynı tipteki tekrarları içерdiği için; memelilerde “post sinaptik dansite protein” (PSD-95), Drosophilada “disclarge tümör supresör” (Dlg), memelilerde “thight junction” “zonula occludens” (ZO-1) proteinlerinin ilk harflerinden ismini almıştır) molekülü, stbm’u (strabismus) kapsar ve klasik yolakdan Dsh (Dishevelled) noktasında dallanır. Dsh kendisinden sonraki effektörlere GTPaz Rho ve ROCK (Rho-iliskili kinaz) gibi Daam1 yolu ile bağlanır. Wnt hedef geninin ürünü Nkd (naked) Wnt sinyal iletiminin bir antagonisti olarak yakın zamanda tanımlanmıştır. Nkd, Dsh’e bağlanır ve β-catenin’i bloke eder bu aynı zamanda JNK yoluğının uyarılmasına yol açar.<sup>33</sup>

Klasik Wnt yolu evrimsel olarak yüksek derecede korunmuş proteinler tarafından kontrol edilmektedir. Bu çok fonksiyonlu protein ailesinin oluşturduğu yolak, en son β-catenin proto-onkogeninin özel hedef genlerin transkripsiyonunu aktive etmesi ile sonuçlanır.<sup>31,36,40</sup> Wnt sinyal yolunda serbest haldeki sitoplazmik β-catenin yıkılır. Bu yıkım, β-catenin amino terminal ucundaki aminoasitlerin çoklu protein kompleksi tarafından fosforilenmesi yolu ile olur. Bu protein kompleksinde

CK1(Kazein Kinaz 1), bir proto-onkogen olan GSK3 $\beta$  (Glikojen sentaz Kinaz üç beta), bir tümör baskılayıcı gen olan APC (Adenomatoz polipozis koli) ve ‘axin’ proteini bulunmaktadır.<sup>36,37,41</sup> Bu kompleks,  $\beta$ -TRCP (beta-transductin tekrarı içeren protein) tarafından  $\beta$ -catenin ‘in ubikitinasyonunu sağlar.<sup>42,43</sup> Sonuç olarak, proteozom yolağı ile  $\beta$ -catenin yıkılmış olur.  $\beta$ -catenin yıkımı sonucu sitoplazmik ve nükleer serbest  $\beta$ -catenin düzeyi azalır. Böylece, Tcf/ $\beta$ -catenin kompleksi oluşmadığı için hedef genlerin ekspresyonu engellenmiş olur.<sup>44,45,46</sup> Wnt sinyal传递 varlığında  $\beta$ -catenin nükleusa geçerek, bir transkripsiyon faktörü olan Tcf (T hücre faktör)/ Lef (lenfosit enhancer faktör) ile bağlanarak transkripsiyon co-represörü olan Tle (Transductin benzeri enhancer) / Groucho ve/veya CtBP (C-terminal bağlayıcı protein) in etkisini ortadan kaldırır ve hedef genlerin ekspresyonunu aktive eder. Tcf’nin NEMO-benzer kinaz, Tak1 (Transforming beta aktive eden Kinaz) ile fosforilenmesi Wnt yolağını negatif yönde düzenler.<sup>44,45</sup>





Şekil 1: Wnt yolu (Jurnal of Cell Science 2002 115, pp.3977-3978)<sup>47</sup>.

### **5.3.1 Wnt yolağının ekstrasellüler inhibitörleri:**

*Xenopus laevis*'ta üç sınıf Wnt antagonistleri tanımlanmıştır. Bu antagonistlerin insandaki homologları bulunmasına rağmen *Drosophila melanogaster* ve *Caenorhabditis elegans* homologları tanımlanamamıştır.

Birinci sınıf antagonistler sFRP (salgılanan frizzled-ilişkili proteinler) olarak isimlendirilirler. Bu proteinlerin diğer adı SARP (salgılanan apoptozis ilişkili protein)dır. Bu proteinler hücre sensitivitesi ve pro-apoptotik uyarınlarda görev almaktadır. sFRP'lerin, Fz (frizzled) transmembran protein ailesi ligand bağlama domainları vardır ve bu domain Sisteince zengindir. sFRP'ler Fz proteinleri ile bağlanarak Wnt fonksiyonunu antagonistik etki ile inhibe ederler.<sup>48</sup>

İkinci sınıf antagonistler WIF-1 (Wnt-inhibitor faktör-1) olarak adlandırılırlar. WIF-1'ler antagonistik etkisini direkt olarak Wnt proteinlerine bağlanarak Wnt'nin reseptöre bağlanması engellemeye yolu ile yaparlar. Bu proteinin insan homoloğu 12inci kromozom üzerinde yer almaktadır.<sup>31</sup>

Üçüncü sınıf salgılanan antagonistler DKK (Dickkopf) olarak isimlendirilmiştir. İnsan homologları DKK1, DKK2, DKK3 ve DKK4 olmak üzere dört adettir. DKK proteinleri Wnt ligandına bağlanarak etki göstermezler. DKK proteinleri Wnt-Fz-LRP reseptör kompleksinin oluşmasını inhibe ederek etki gösterirler.<sup>49</sup>

### **5.3.2 Wnt yolağındaki Ligand ve reseptörler:**

Wnt ligantları, meyve sineğinden insana kadar geniş bir sınıfta eksprese olan proto-onkogen ailesi üyesidir. Bu geniş ve sekrete olabilen glikoprotein ailesi, sinyal molekülleri ailesinin en büyüğü sayılmaktadır. İlk bulunan Wnt geni "Mouse Int-1" dir. Int-1 1991 yılında *Drosophila melanogaster* da Wg geninin bulunması ile Wnt-1 adını almıştır. Günümüze dekin insanda 19 adet Wnt geni tanımlanmıştır. Bu ailenin tüm üyeleri yapısal olarak birbirleri ile benzerdir fakat farklı biyolojik özelliktedir.<sup>50</sup>

*Drosophila melanogaster* da Fz genleri doku polaritesinin gelişiminde ağırlıklı role sahiptir. Fz geni, transmembran protein ailesi üyesidir ve yedi adet transmembran parçası bulunur.

*Drosophila melanogaster*, *Xenopus laevis* ve Fare de Arrow(*Drosophila*)/LRP (düşük dansiteli lipoprotein ilişkili protein)(omurgalılarında) Wnt sinyali için gereklidir.

Olasılıkla bu protein Wnt yolağında co-reseptör olarak görev almaktadır. LRP geni uzun tek geçişli transmembran proteini kodlar ve ekstrasellüler domaini direkt olarak Fz ye bağlanma özelliği göstermektedir. Lrp nin intrasellüler bölgesi ise Axin protein ile bağlanmaktadır.<sup>50</sup>

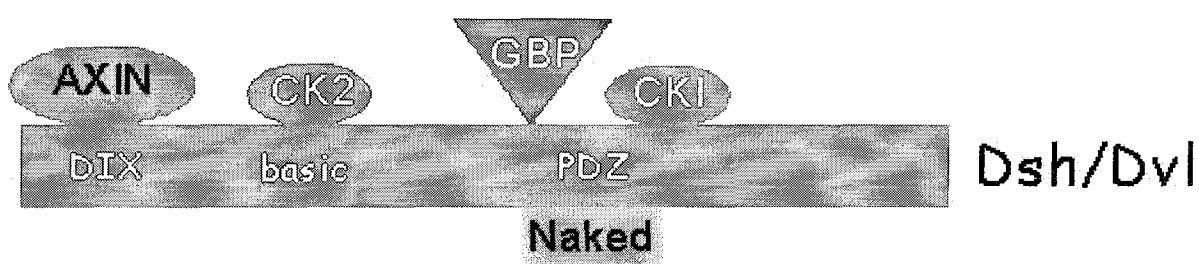
### **5.3.3 Wnt yolağının akış yönünde bulunan reseptör kompleksi:**

*Drosophila melanogaster* da Dsh omurgalılarda Dvl sitoplazmik fosfoprotein kodlayan genlerdir. Bu proteinler Wnt sinyal mekanizmasının pozitif mediatörleridir. İnsanda Dvl-1, Dvl-2 ve Dvl-3 olmak üzere üç adet homoloğu bulunmaktadır. Fz reseptörünün akış yönünde görev yapan Dsh/Dvl in esas görevi tam olarak açıklanamamıştır.<sup>49</sup>

Dsh/Dvl proteini üzerinde DIX (Dishevelled homoloğu) domaini bulunmaktadır. Axin蛋白 Dsh/Dvl'in Dix domainine bağlanma özelliğindedir. Bu Bağlanma Axin proteinini inhibe eder. Bu inhibisyon sonucunda  $\beta$ -catenin GSK3 $\beta$  tarafından fosfatlanır.<sup>50</sup>

Ck2 *Drosophila melanogaster* da Wnt sinyal yolağında pozitif düzenleyici olarak görev alan bir proteindir. Ck2, Dsh/Dvl'in bazik domeynine bağlanır. Bu bağlanma sonucunda Dsh/Dvl fosforilenerek ile aktive olur.<sup>51</sup>

Wnt uyarımı olduğunda Ck1, Dsh/Dvl'e bağlanır. Bu bağlanma ile  $\beta$ -catenin 45inci Serin aminoasitinden defosforile olur. Bu da  $\beta$ -catenin stabilizasyonuna yol açar ve  $\beta$ -catenin yolağının aktivasyonu gerçekleşir.<sup>51,52</sup>



**Şekil 2:Wnt yolağı molekülü Dsh/Dvl ve bağlanan domeynleri**

*Xenopus laevis* ta Wnt uyarısı sırasında GBP (GSK-3 bağlayıcı protein), Dvl'in PDZ domeynine bağlanmaktadır. PDZ aynı tipteki tekrarları içерdiği için; memelilerde "post sinaptik dansite protein" (PSD-95), *Drosophila melanogaster*da "disclarge tümör

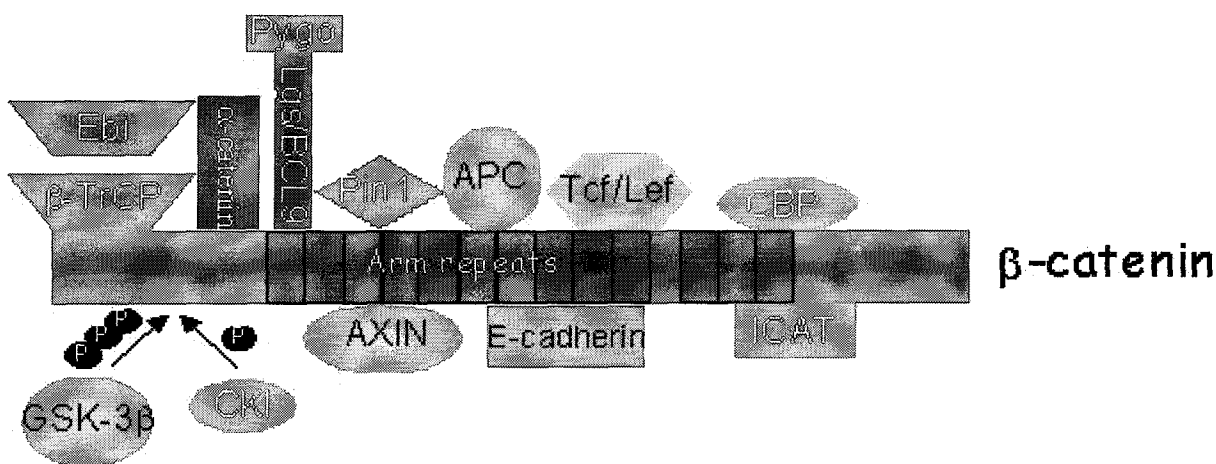
supresör” (Dlg), memelilerde “zonula okludens” (ZO-1) proteinlerinin ilk harflerinden ismini almıştır.<sup>53</sup>

*Drosophila melanogaster* da, ‘naked’ proteinin Dsh ile bağlandığı gösterilmiştir. Bu bağlanma ile Dsh aktivitesi downregüle olmaktadır. Naked proteini ekspresyonu Wg (Wingless) tarafından negatif feedback mekanizma ile kontrol edilmektedir.<sup>54</sup>

#### **5.3.4 Wnt sinyal yolağında multiprotein kompleks proteinleri:**

Wnt yolağında,  $\beta$ -catenin stabilizasyonu multi protein kompleksi tarafından düzenlenmektedir. Bu kompleks  $\beta$ -catenin, Axin/Conductin, APC ve GSK3 $\beta$  proteinleri tarafından oluşturulmuştur.<sup>55</sup>

$\beta$ -catenin E-cadherin'in sitoplazmik domeyni ve  $\alpha$ -catenin ile birlikte aktin iskeletine bağlanan bir proteindir.  $\beta$ -catenin *Drosophila melanogaster*' daki Arm (Armadillo) protein tekrarları ile homoloji gösterir.<sup>56,57</sup> Yapısal olarak amino terminal domaininde ilk 130 aminoasit ve karboksi terminal domaininde de 110 aminoasit içinde 42 aminoasitlik tekrarlar halinde 12 adet Arm dizisi bulunmaktadır. Bu diziler *Drosophila melanogaster*' daki Arm tekrarları ile homoloji göstermektedir.  $\beta$ -catenin'in amino terminal domeyni stabilitesinin düzenlenmesinde önemlidir. Karboksi terminal domeyni ise transkripsyonel aktivasyon domeynidir.  $\beta$ -catenin aminoasitlerinin %70'i  $\gamma$ -catenin (Plakoglobin) ile homoloji gösterir. Bu homolojinin %80'i Arm tekrarları içindedir. Plakoglobin; E-cadherin,  $\alpha$ -catenin, APC, Axin ve Tcf/Lef transkripsyonel faktörlere bağlanır ve hücre adezyonu ve Wnt sinyal yolunda görev alır.<sup>58</sup>



**Şekil 3:Multiprotein kompleks proteinleri**

$\beta$ -catenin katabolizmasında ubikitinasyona bağlı iki degredasyon mekanizması rol alır.  $\beta$ -TrCP ve Ebi, Fbox proteinleridir ve her iki tip protein de  $\beta$ -catenin'in N-terminal bölgesine bağlanırlar. Her iki degredasyon sistemi de APC proteini ile etkileşim gösterir<sup>59,60</sup>.  $\beta$ ,  $\beta$ -catenini Thr (41), Ser(35) ve Ser (33) ten fosfatlar. Bu fosfatlanma sonucunda CK1  $\beta$ -catenini Ser (45) ten fosfatlamaktadır.<sup>52,55,60</sup> Tüm bu fosforilasyonlar sonucu  $\beta$ -catenin proteozom sisteminde yıkılır.  $\alpha$ -catenin  $\beta$ -catenin'in N-terminal ucuna bağlanmaktadır. E-cadherin  $\beta$ -catenin'in Arm tekrar bölgesinde bağlanmaktadır. Her iki proteinde hücre adezyonunu kontrol etmektedir.<sup>61</sup>

Drosophila melanogaster da Lgs (Legless) ve Pygo (Pygopus) proteinlerinin Arm tekrar bölge sine bağlanarak wg sinyal yolunda transkripsyonel co-aktivatör molekül olarak fonksiyon gösterdikleri belirtilmiştir. Lgs' nin insandaki homoloğu BCL-9 dur. Pygo geni ise PHD' yi (plant homology domain) kodlar ve insanda hPYGO1 ve hPYGO2 olmak üzere iki adet homoloğu bulunmaktadır.<sup>62</sup> Pygo'nun esas mekanizması tam olarak tanımlanamamıştır. Pin1 (Peptydyl-propyl cis-trans isomeraz) APC bağlanma bölgesindeki Ser-Pro motifini fosforiller ve APC ve  $\beta$ -catenin etkileşimini inhibe eder. Bu da Wnt sinyal yolağını negatif olarak regule eder.<sup>63</sup>

Xenopus laevis'ta CBP' in (Crb bağılayıcı protein)  $\beta$ -catenin transaktivasyon domeynine bağlanarak Wnt hedef genlerini uyardığı gösterilmiştir.<sup>64</sup>

Fare çalışmalarında TCF4' in (ICAT)  $\beta$ -catenin C terminal domeynine bağlanarak Wnt hedef genlerinin ekspresyonunu baskıladığı gösterilmiştir.<sup>65</sup>

### **5.3.5 Wnt yolağının nükleer komponentleri:**

Stabilize olan  $\beta$ -catenin' in nükleusa geçtiği gösterilmiştir. Fakat  $\beta$ -catenin'in nükleusa transportun daki mekanizma tam olarak açıklığa kavuşmamıştır. Nükleer  $\beta$ -catenin Tcf/Lef transkripsiyon faktörü ailesi ile bağlanmaktadır. Bu bağlanma Wnt sinyal yolundaki genlerin ekspresyonunun anahtar faktördür.



**Şekil 4:Wnt yolağında nükleer proteinler**

Tcf/Lef proteinleri “high mobility group” (HMG)-box transkripsiyon faktörleridir.<sup>66</sup> İnsanda dört adet homoloğu bulunmaktadır. Bunlar Lef1, Tcf1, Tcf3 ve Tcf4 olarak adlandırılmaktadır. Bu dört homolog protein de DNA da aynı motife bağlanmakta ancak dokuya özgü ekspresyon paterni göstermektedirler<sup>67</sup>. Tcf/Lef; β-catenin, BCL-9, Pygo ve CBP ile kompleks oluşturur ve c-myc, Cyclin D1, WISP-3 (WNT inducible signaling pathway) ve MMP-7 (matriks metalloproteinaz proteini) gibi hedef genlerin ekspresyonlarını açar.<sup>68</sup> Eğer ortamda Wnt uyarımı yoksa Tcf/Lef “Groucho” ve CtBP (c-terminal binding protein) gibi co-represörlerle bağlı kalarak transkripsiyonu baskılarlar.<sup>69</sup>

### **5.3.6 Wnt yolağı Hedef genleri:**

Günümüzde *Drosophila melanogaster* ve omurgalılarda tanımlanmış 50 den fazla Wnt hedef geni tanımlanmıştır. Bu genler gelişim , hücre proliferasyonu, hücre-hücre adezyonu ve hücre matriks etkileşiminde görev almaktadırlar. Bu genlerin büyük bir kısmı promotör bölgelerinde Tcf/Lef bağlanma motifleri içermektedirler.<sup>31</sup>

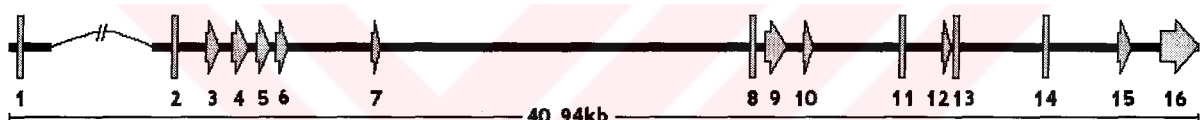
## **5.4 İnsan solid tümörlerinde Wnt yolağındaki değişiklikler:**

Wnt sinyal yolağının kronik aktivasyonu bir çok kanser tipi ile ilişkilendirilmiştir<sup>70</sup>. Kolorektal,<sup>71,72,73,74,75,76,77</sup> hepatoselüler kanserlerde,<sup>78,79,80</sup> Kötü diferansiyasyon gösteren çocukluk çagi hepatoblastomlarda,<sup>81</sup> endometrial kanserde,<sup>82,83,84,85,86,87,88</sup> over kanserlerinde,<sup>87,88,89</sup> gastrik kanserlerde,<sup>90,91</sup> Böbrek Wilms tümörlerinde,<sup>92,93</sup> sporadik medüllblastomlarda,<sup>94,95</sup> meme kanserlerinde,<sup>96,97,98</sup> pankreatik tümörlerde,<sup>99</sup> tiroid karsinomlarında,<sup>100,101,102,103</sup> renal ve transisionel hücre karsinomunda,<sup>104</sup> pilomatricoma olgularında,<sup>105</sup> ve nöroektodermal tümörlerde<sup>106</sup> Wnt yolağındaki düzenleyici genlerin mutasyonları ile yolağın kronik aktivasyonu tanımlanmıştır. Wnt yolağındaki CTNNB1, AXIN ve APC

genlerinde mutasyonlar ve “Hot spot” mutasyonlar belirlenmiştir. Bu yolakta görev alan GSK3 $\beta$ 'nın mutant olduğu kanser türü tanımlanmamıştır. Bu GSK3 $\beta$ 'nın diğer proteinlere nazaran daha önemli bir işlev sahip olduğunu ve mutasyonlarının yaşamla bağdaşmadığı anlamına gelebilir.<sup>50</sup> İnsan solid tümörlerinde Wnt yolağında en çok çalışılan genlerden biri CTNNB1'dır.

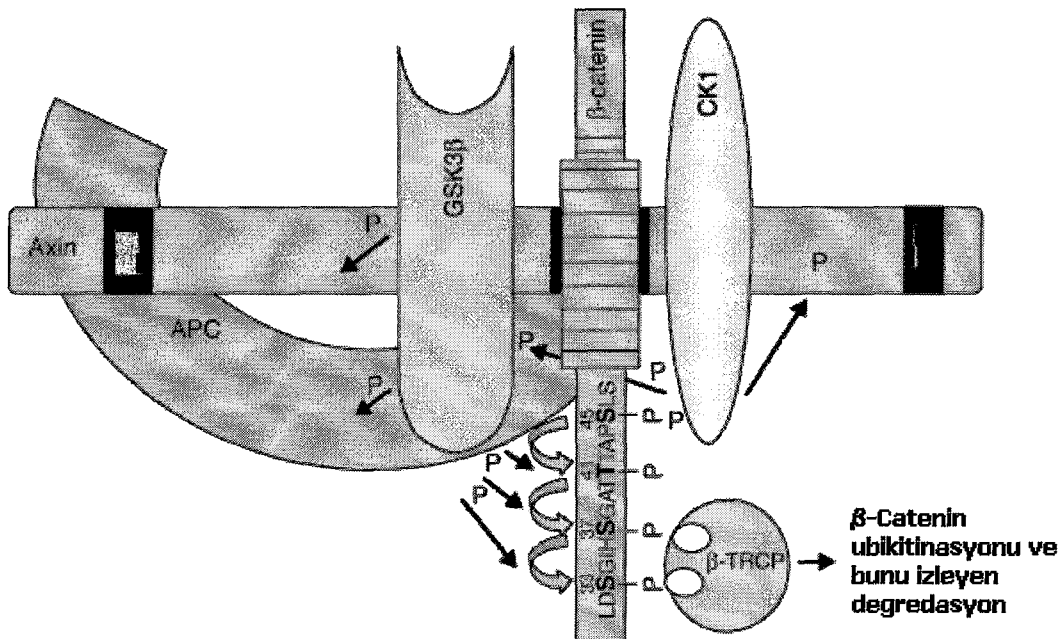
### 5.5 CTNNB1 ( $\beta$ -Catenin):

CTNNB1 geni  $\beta$ -catenin proteinini kodlamaktadır.<sup>107</sup> Yapılan haritalama çalışmaları ile genin insanda 3p22-p21.3 ta lokalize olduğu gösterilmiştir.<sup>108</sup> Genin toplam uzunluğu 40.940 bp dır, 16 adet eksonu vardır. Eksonların büyüklükleri 61-790bp arasında değişmektedir. 16'inci ekson içinde alternatif ‘splice’ varyantı bulunmaktadır.<sup>109</sup>



**Şekil 5:** $\beta$ -catenin Ekson intron bağlantıları.

$\beta$ -catenin cDNA sı 2346bp uzunluğundadır ve 781 aminoasit kodlamaktadır. Genin translasyon başlangıç kodonu 2. ekson içindedir.  $\beta$ -catenin geni içerisinde 12 adet 42 aminoasitten oluşmuş ve evrimsel olarak korunmuş olan Arm tekrar bölgeleri bulunmaktadır. Arm tekrarları sırası ile (152-191), (193-234), (235-276), (277-381), (319-360), (361-389), (400-441), (442-484), (489-530), (531-571), (594-636), (637-666) aminoasitleri arasındadır.<sup>110</sup>



**Şekil 6:β-catenin'e bağlanan proteinler ve fosforile olan aminoasitler**

β-catenin üzerinde, β-catenin'in degredasyonu için GSK3β tarafından fosforile edilen aminoasit dizileri bulunmaktadır. Bu aminoasitler sırası ile 33 üncü, 37 inci ve 45 inci aminoasit olarak serin ve 41 inci aminoasit olan treonin dir.<sup>52,55,60</sup> Bununla birlikte 86 inci aminoasit ve 654 üncü aminoasit Ck1 fosforilasyonunda önemlidir.<sup>111</sup>

Intrasellüler Wnt sinyal传递, sitozolik β-catenin stabilizasyonuna yol açar. Wnt'lerin yokluğunda β-catenin CK1α (kasein kinaz Ia) ve/veya CK1ε ile Ser45'ten fosforillenir, bu GSK 3β 'yı serin/treonin rezidüleri 41, 37 ve 33.'ten fosforillemek üzere etkin kılar.<sup>51,52</sup> Bu rezidülerden en az ikisinin fosforilasyonu β-catenin'in ubikitinlenmesini βTrCP ve proteazom sisteminde yıkımını tetikler. β-catenin'in fosforilasyonu bir multiprotein kompleks içinde meydana gelir. Bu kompleks β-catenin, Axin/Conductin, APC ve GSK3β proteinleri tarafından oluşturulmuştur.<sup>42,112</sup> β-catenin yıkımı multisubunit PP2A (serine/treonin phosphatase) ile modüle edilir.<sup>42</sup> Dsh aktivitesi kinaz PAR1 ile modüle edilir, bu β-catenin yolağının Wnt aktivasyonunu tetikler ama JNK yolağını bloke eder.<sup>47</sup> Diğer Dsh ile ilişkiye giren moleküller 'frodo' ve β-Arr1 (β-arrestin 1) dir, bu proteinler Dsh ile ve genel Dsh antagonisti Dpr (Dapper) ile sinerjik etki gösterir.<sup>33</sup>

Stabilize β-catenin hücre nükleusuna girer ve Lef/Tcf transkripsiyon faktörleri ile bağlanır, böylece Wnt hedef genlerinin transkripsiyonuna yol açar.

Transkripsyonel aktivasyon  $\beta$ -catenin'in histon asetil transferaz CBP ile etkileşmesiyle yönlendirilir, 'kromatin-remodeling' SWI/SNF kompleksi ve Bcl-9 (Pyg) bağlanır.  $\beta$ -catenin'in yokluğunda Tcf transkripsiyonu co-represör CtBP ile etkileşerek baskılamaktadır. Bununla birlikte  $\beta$ -catenin ile ICAT'ın etkileşimi Wnt sinyal iletimini negatif olarak düzenlemektedir.<sup>69</sup>

### **5.6 İnsan solid Tümörlerinde $\beta$ -catenin mutasyonları:**

$\beta$ -catenin, Wnt sinyal yolağında, hücre-hücre adezyonunda ve sinyal iletiminde rol alan çok fonksiyonlu bir proteindir. Hücre aderens bağlantılarında, hücre içi cadherin ve  $\alpha$ -catenin'in de rol aldığı hücre iskelet sisteminde bu proteinlerin sitoplazmik domeynleri ile bağlı halde bulunmaktadır.<sup>7,113</sup>

$\beta$ -catenin'in sitoplazma veya nükleusta anomal birikimi ile çeşitli tipteki kanserler ilişkilendirilmiştir.<sup>44</sup> Wnt/wg sinyal yokluğunda sitoplazmik  $\beta$ -catenin APC ile bağlı haldeken GSK3 $\beta$  tarafından fosforile edilir ve Ubikitin-proteozom yolu ile yıkılır. APC veya  $\beta$ -catenin genindeki değişikliklerde degradasyon sisteminin çalışmamasından dolayı, hücrede  $\beta$ -catenin birikimi olmaktadır. Biriken  $\beta$ -catenin nükleusa geçerek Tcf/Lef ile etkileşime girmekte ve hedef genlerin transkripsiyonunu artırmaktadır.<sup>45</sup>

$\beta$ -catenin proteininin N-terminali Serin ve Treonin aminoasitlerinin fosforilasyonu bakımından kritiktir. Bu aminoasitler 33, 37, 41 ve 45inci kodonlara (Ekson 3) denk gelmektedir. Bununla birlikte bazı kanserlerde 183, 245 ve 287inci kodonlardaki (ekson 4, 5, 6) mutasyonların kanser gelişiminde önemli rol oynadığı gösterilmiştir.<sup>44,45,107</sup>

2003 yılına kadar yapılan  $\beta$ -catenin çalışmaları ve bulunan mutasyonlar Tablo 1 de özetlenmiştir.

**Tablo 1: 2000 Mart ayına kadar  $\beta$ -catenin mutasyonu açısından çalışılan kanser tipleri ve mutasyon frekansları<sup>44</sup>**

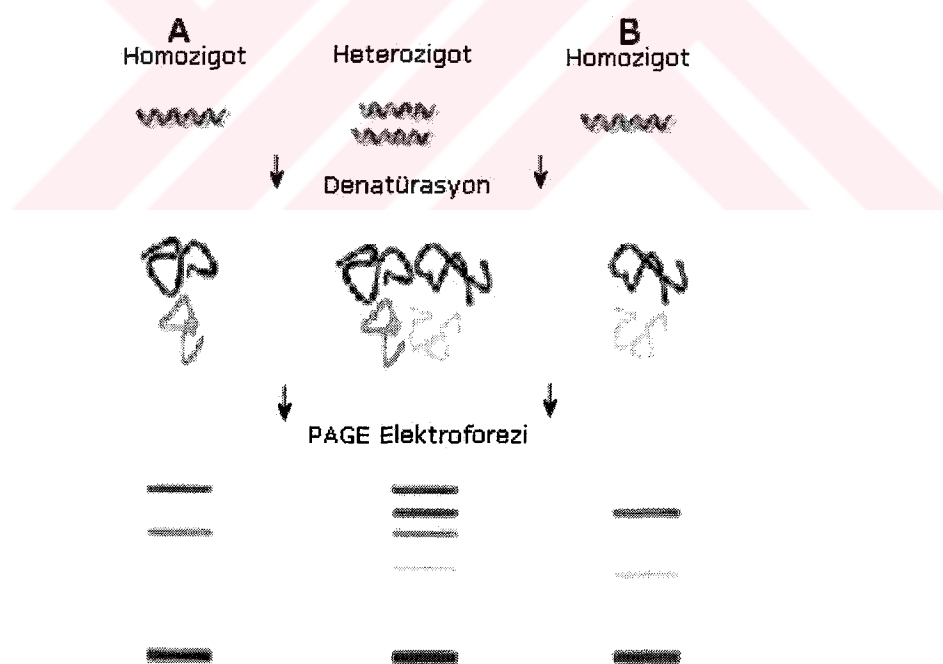
Doku	Frek.	S29Y30L31D32S33G34I35H36S37G38A39T40T41T42A43P44S45L46S47G48K49	Kaynak
Kolorektal	9/202	1	Samowitz
Kolorektal	2/92	1	Kitaeva
Kolorektal APC mutasyonsuz	7/58		Lwao
Kolorektal HNPCC	13/27		Sparks
Kolorektal MSI (+)	12/28	2	Miyaki
Kolorektal MSI (-)	13/53	2	Mirabelli-primdahl
desmoid, sporadik	0/27	2	Mirabelli-primdahl
desmoid, sporadik	1/1	1	Shitoh
endometrial MSI (+)	22/42	10	Tepar
endometrial MSI (-)	3/9	2	Mirabelli-Primdahl
Gastrik, intestinal-tip	10/20	1	Mirabelli-Primdahl
Gastrik, difüz-tip	7/26	3	Park
hepatoselüler HCV (+)	2/17	1	Park
hepatoselüler HCV (-)	9/22	5	Huang
hepatoselüler	12/35	3	Van Nieuw
hepatoselüler	6/26	1	De La Coste
hepatoselüler	14/75	1	Miyoshi
hepatoselüler	21/119	1	Legoix
hepatoblastom, sporadik	8/9	2	Jeng

Doku	Frek.	S29	Y30	L31	D32	S33	G34	I35	H36	S37	G38	A39	T40	T41	T42	A43	P44	S45	L46	S47	G48	K49	Kaynak
hepatoblastom, sporadik	27/52			2	3	1														5			Koch
hepatoblastom	12/18			2	1															1	1		Wei
Böbrek, Wilms' tümör	6/40																			1	2		Koesters Maiti, 2000
medulloblastom, sporadik	3/67			2		1																	Zurawel
melanom	1/65																			1			
ovarian, endometrium	7/13			3	1					2									1				Gamallo
ovarian, endometrium	3/11									2									1				Palacios
ovarian, endometrium	10/63					2	2	6															Wright
pankreatik tümörler	0/111																						Ramaswamy
pilomatrikom	12/16			2	4	3		2											1				Chan
prostat kanseri	5/104			1	2														1				Voeller
tiroid, anaplastik	19/31				1		1	3	1		8	2	1	1	4	2	1	2	1	2	1	9	Garcia-Rostan
uterin endometrium	10/76					1			2		4		3						3				Fukuchi

## 5.7 SSCP (Tek iplik konformasyon polimorfizmi) Analizi

SSCP mutasyon tarama için en çok kullanılan yöntemlerden biridir. Mutasyon araştırılan PCR fragmanlarının boyu 175-250 bp arasında olmalıdır. Teknikte önemli olan, PCR reaksiyonunun başarılı yapılmış olması, istenmeyen (non-spesifik) bantların olmamasıdır. Bu yüzden teknik uygulanmadan önce PCR ürünlerinin temizliği ve doğruluğu agaroz jelde kontrol edilmelidir.<sup>114</sup>

SSCP yöntemi, nükleik asitlerin non-denatüran jelde boyutuna ve şekline göre farklı hareket kabiliyetlerini esas alır. Baz dizilişi farklı çift veya tek iplikli DNA moleküllerinin kendi üzerine katlanması ve molekül içi etkileşimleri farklıdır. Eğer bir DNA molekülünde üzerinde bir baz değişimi olursa bu DNA'nın kendi üzerine katlanması ve molekül içi etkileşimi değişir. Bu konformasyonal değişim de bu molekülün non-denatüran jelde farklı elektroforetik hareket gösternesine neden olur. Bu yolla, tümör örneğine ait DNA ile normal dokudan alınan DNA'yı veya incelenen gen polimorfik değilse, tümör DNA'sını wildtype DNA ile karşılaştırarak mutasyon olup olmadığını saptayabiliriz.<sup>115</sup> (Şekil 7.)



Şekil 7:SSCP Jel prensibi.<sup>115</sup>

SSCP görüntüleme yöntemi olarak birçok yöntem uygulanmaktadır. Bunlar Gümüş boyama, Radyoaktif [<sup>33</sup>P]-dATP kullanımı ve SYBR® GREEN II dir. Gümüş boyama, çalışma şartlarının ayarlanması ve kullanılan kimyasallar ve aynı zamanda boyama prosedürünün uzunluğu açısından kullanımı zor bir yöntemdir. PCR sırasında Radyoaktif [<sup>33</sup>P]-dATP kullanımı ise radyoaktif laboratuari olmayan merkezler için sakıncalı olabilir. SYBR® GREEN II ise hem kullanımı kolay hem de duyarlılığının yüksekliği göz önüne alındığında kullanışlı bir yöntem olmaktadır.<sup>116</sup>

SYBR® GREEN II 100pg tek iplikli DNA moleküllerini poliakrilamid veya agaroz jelde gösterebilen bir boyadır. 300nm dalga boyunda translimünasyon veya 254 nm epi-illüminasyonda uyarılarak daha sonra kamera ile görüntülenebilir.



## **6 GEREÇ ve YÖNTEMLER**

### **6.1 Hasta Seçim Yöntemi:**

Meme karsinomu dokuları Bozyaka Sosyal Sigorta hastanesi Genel Cerrahi Bölümün'de 2002-2003 yılları arasında opere edilen ve yine Bozyaka Sosyal Sigorta hastanesi Patoloji servisinde invaziv duktal karsinom tanısı konmuş hastalardan sağlandı. Alınan dokular -80C° de çalışma yapılmışcaya kadar saklandı. Çalışmaya toplam 14 hasta dahil edildi.

### **6.2 Tümör Örneklerinden DNA izolasyonu:**

Dokular Ameliyathanede alındıktan sonra transport ortamı içinde laboratuara ulaştırıldı. Bu dokular DNA izolasyonu yapılana dek -80C° de bekletildi. DNA izolasyonu Macherey-Nagel Marka "NucleoSpin® Tissue" DNA izolasyon kiti ile yapıldı. DNA izolasyonu aşamasının başlangıcında dokular buz içinde çözüldü.

1. Yaklaşık 25 mg doku parçası mikrosantrifuj tüp içine alındı. Bu aşamadan sonra doku parçası 50-75 $\mu$ l PBS (fosfat tamponlu tuz çözeltisi) içinde homojenize edildi.
2. Homejenize edilen dokular 180 $\mu$ l T1 (Lizis tamponu) ve 25 $\mu$ l Proteinaz K içinde 56 C° de gece boyu bekletildi.
3. Ertesi gün örnekler vorteks ile iyice karıştırıldıktan sonra, 200 $\mu$ l B3 tamponu eklendi ve 70 C° de 10 dakika bekletildi.
4. Mikrosantrifuj tüp içine 210  $\mu$ l (%96-100) etanol eklendi ve vorteks ile nazikçe karıştırlırdı.
5. Bu aşamadan sonra örneklerin her biri farklı "NucleoSpin® Tissue" kolonlara ekendi ve örnekler Mikrosantrifuj ile 11,000xg de 1 dakika santrifüj edildi. Böylelikle DNA kolon içindeki silika membrana tutturulmuş oldu.
6. Kolon üzerine 500 $\mu$ l BW tamponu eklerek kolonlar 11,000xg de 1 dakika santrifüj edilerek birinci yıkama işlemi gerçekleştirildi.
7. Kolon üzerine 600 $\mu$ l B5 tamponu eklerek kolonlar 11,000xg de 1 dakika santrifüj edilerek ikinci yıkama işlemi gerçekleştirildi.

8. Kolonlar 11,000xg de 1 dakika santrifüj edilerek kolon üzerindeki silika membran kurutuldu.
9. Kolon üzerine 100 $\mu$ l 70°C de ısıtılmış BE tamponu eklenderek, 11,000xg de 1 dakika santrifüj edilerek DNA yeni tüpe elue edildi.

### **6.2.1 DNA Elektroforezi:**

Doku örneklerinden elde edilen DNA miktarları spektrofotometrik okumayla hesaplandı. Çıkan miktarlara göre tüm DNA örneklerinin konsantrasyonu 100ng/ $\mu$ l olacak şekilde dH<sub>2</sub>O ile ayarlandı. İzole edilen DNA örnekleri %1'lük 0.5 $\mu$ g/ml etidyum bromidli agaroz jelde 10 V/cm olacak şekilde 1 saat 0.5xTBE tamponunda yürütüldü. Bunun için 0.3g agaroz, 0.5xTBE ile bir beherde 30ml'ye tamamlandı. Beher mikrodalga fırında 1 dakika bekletildi. Agaroz jel sıcaklığı 45 C° ye geldikten sonra jele 0.5 $\mu$ g/ml etidyum bromid eklendi. Jel zaman geçirmeden dökülkerek tarak yerleştirildi. Polimerizasyon için 20-30 dakika beklendi. Jel polimerize olduktan sonra tarak çıkarıldı ve oluşan kuyucuklara örnekler 5 $\mu$ l örnek ve 2 $\mu$ l yükleme tamponu şeklinde yapıldı. İzole DNAların kaliteleri jelde değerlendirildi.

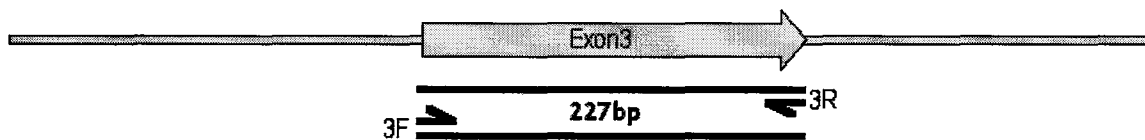
**Tablo 2: DNA izolasyon basamakları**

1.	Örnek hazırlığı		25mg doku küçük parçalara ayrılır
2.	Hücre patlatma öncesi hazırlık		180µl T1
			25µl Proteinaz K
			56 C° de 1-3 saat
3.	Hücreleri patlatma		200µl B3
			70 C° de 10 dakika
4.	DNA bağlanması kondisyonunu artırma		210 µl etanol
5.	DNA bağlama		Tamamı kolona yüklenir
			11.000g'de 1 dakika
6.	Silika membranı yıkama		1. Yıkama 500µl BW
			2. Yıkama 600µl B5
			1. ve 2. Yıkama 11.000g'de 1 Dakika
7.	Silika membranı kurutma		11.000g'de 1 Dakika
8.	DNA elüsyonu		100µl BE (70C°)
			Oda sıcaklığında 1 Dakika
			11.000g'de 1 Dakika

### **6.3 $\beta$ -Catenin Ekson 3 Polimeraz zincir reaksiyonu:**

$\beta$ -catenin genomik DNA dizisi gen bankasından bulunduktan sonra (Genbank ACCESSION no: X89579, X89580, X89581, X89582, X89583 ve NT\_022517) bu dizi Fast PCR® programında işlenerek  $\beta$ -catenin Ekson 3 için sens ve antisens primerleri dizayn edildi.

Sens	(F) 5'-GCTGATTTGATGGAGTTGGA-3'
Antisens	(R) 5'-GCTACTTGTCTTGAGTGAA-3'



**Şekil 8: Ekson 3 PCR primerleri**

Bu primerler kullanılarak Ekson 3 polimeraz zincir reaksiyonu ile çoğaltıldı. PCR' da kullanılan maddeler ve son konsantrasyonları Tablo 4 deki gibidir. PCR işlemi sonrasında bant büyütükleri horizontal jel elektroforezi ile değerlendirildi. Agaroz jel elektroforezi 0.5xTBE Tamponu içinde, %3'lük NuSieve® GTG®(FMC), 0.5 $\mu$ g/ml etidyum bromidli jelde 10Volt/cm olacak şekilde 35 dakika yürütüldü. PCR ürünlerinin büyütüğünün 227bp olduğu, 50bp 'step ladder'® (Sigma) ve Marker VIII® (Roche) moleküler ağırlık markeri kullanılarak doğrulandı.

**Tablo 3: PCR' da kullanılan maddeler ve son konsantrasyonları**

Kullanılan maddeler	25 $\mu$ l	Son konsantrasyon
dH <sub>2</sub> O	16.5 $\mu$ l	Tamamlayacak kadar
10XTampon	2.5 $\mu$ l	1 x
dNTP karışımı	0.5 $\mu$ l	200 $\mu$ M
MgCl <sub>2</sub>	2 $\mu$ l	2 mM
Primer 5' sens	0.5 $\mu$ l	50 pmol
Primer 3' antisens	0.5 $\mu$ l	50 pmol
Kalıp DNA	2 $\mu$ l	50-100 ng
Taq polimeraz	0.5 $\mu$ l	2.5 Ünite

**Tablo 4: Ekson3 Polimeraz zincir reaksiyonu için sıcaklık profili:**

5 dakika 94 C°	İlk denatürasyon
45 saniye 94 C°	
30 saniye 56 C°	33 döngü
45 saniye 72 C°	
5 dakika 72 C°	Son uzama

#### 6.4 *β-Catenin Ekson 4 Polimeraz zincir reaksiyonu:*

*β-catenin* genomik DNA dizisi gen bankasından bulunduktan sonra (Genbank ACCESSION no: X89579, X89580, X89581, X89582, X89583 ve NT\_022517) bu dizi Fast PCR® programında işlenerek *β-catenin* Ekson 4 için sens ve antisens primerleri dizayn edildi.

Sens (F) 5'- GACAGTATGCAATGACTCGAGC -3'  
 Antisens (R) 5'- TTGCTTACCTGGTCCTCGTC -3'



**Şekil 9: Ekson 4 PCR primerleri**

Bu primerler kullanılarak ekson 4 polimeraz zincir reaksiyonu ile çoğaltıldı. PCR' da kullanılan maddeler ve son konsantrasyonları tablo 4 deki gibidir. PCR işlemi sonrasında bant büyülükleri horizontal jel elektroforezi ile değerlendirildi. Agaroz jel elektroforezi 0.5xTBE Tamponu içinde, %3'lük NuSieve® GTG®(FMC), 0.5µg/ml etidyum bromidli jelle 10Volt/cm olacak şekilde 35 dakika yürütüldü. PCR ürünlerinin büyülüğünün 253bp olduğu, '50bp step ladder'® (Sigma) ve Marker VIII® (Roche) moleküler ağırlık markeri kullanılarak doğrulandı.

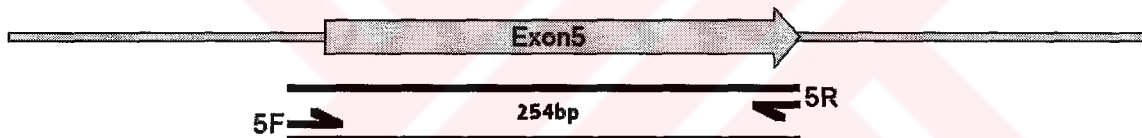
**Tablo 5: Ekson4 Polimeraz zincir reaksiyonu için sıcaklık profili:**

5 dakika 94 C°	İlk denatürasyon
30 saniye 94 C°	
30 saniye 55 C°	33 döngü
20 saniye 72 C°	
5 dakika 72 C°	Son uzama

### **6.5 $\beta$ -Catenin Ekson 5 Polimeraz zincir reaksiyonu.**

$\beta$ -catenin genomik DNA dizisi gen bankasından bulunduktan sonra (Genbank ACCESSION no: X89579, X89580, X89581, X89582, X89583 ve NT\_022517) bu dizi Fast PCR® programında işlenerek  $\beta$ -catenin Ekson 5 için sens ve antisens primerleri dizayn edildi.

Sens	(F)	5'- GAATTCCCTGTATTACAGGTGGTGG -3'
Antisens	(R)	5'- AAGCATTTCACCAGGGCAG -3'



**Şekil 10: Ekson 5 PCR primerleri**

Bu primerler ile Ekson 5 polimeraz zincir reaksiyonu ile çoğaltıldı. PCR' da kullanılan maddeler ve son konsantrasyonları Tablo 4 deki gibidir. PCR işlemi sonrasında bant büyülüklükleri horizontal jel elektroforezi ile değerlendirildi. Agaroz jel elektroforezi 0.5xTBE Tamponu içinde, %3'lük NuSieve® GTG®(FMC), 0.5μg/ml etidyum bromidli jelde 10Volt/cm olacak şekilde 35 dakika yürütüldü. PCR ürünlerinin büyülüğünün 254bp olduğu, 50bp 'step ladder'® (Sigma) ve Marker VIII® (Roche) moleküller ağırlık markeri kullanılarak doğrulandı.

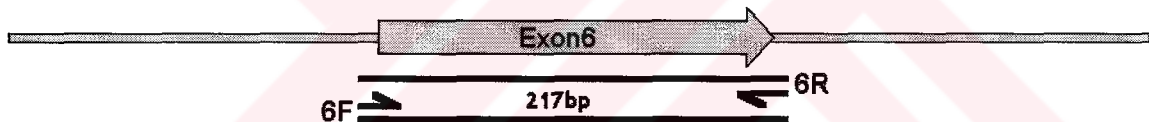
**Tablo 6: Ekson5 Polimeraz zincir reaksiyonu için sıcaklık profili:**

5 dakika 94 C°	İlk denatürasyon
20 saniye 94 C°	
30 saniye 56 C°	33 döngü
30 saniye 72 C°	
5 dakika 72 C°	Son uzama

### **6.6 $\beta$ -Catenin Ekson 6 Polimeraz zincir reaksiyonu:**

$\beta$ -catenin genomik DNA dizisi gen bankasından bulunduktan sonra (Genbank ACCESSION no: X89579, X89580, X89581, X89582, X89583 ve NT\_022517) bu dizi Fast PCR® programında işlenerek  $\beta$ -catenin Ekson 6 için sens ve antisens primerleri dizayn edildi.

Sens	(F)	5'- TCTTCCCAGTTACCAAGTGG -3'
Antisens	(R)	5'- TCTTACCTTGCTTCTGGTTGC -3'



**Şekil 11: Ekson 6 PCR primerleri**

Bu primerler kullanılarak ekson 6 polimeraz zincir reaksiyonu ile çoğaltıldı. PCR' da kullanılan maddeler ve son konsantrasyonları Tablo 4 deki gibidir. PCR işlemi sonrasında bant büyülükleri horizontal jel elektroforezi ile değerlendirildi. Agaroz jel elektroforezi 0.5xTBE Tamponu içinde, %3'lük NuSieve® GTG®(FMC), 0.5 $\mu$ g/ml etidyum bromidli jelde 10Volt/cm olacak şekilde 35 dakika yürütüldü. PCR ürünlerinin büyülüğünün 217bp olduğu, 50bp 'step ladder'® (Sigma) ve Marker VIII® (Roche) moleküller ağırlık markeri kullanılarak doğrulandı.

**Tablo 7: Ekson6 Polimeraz zincir reaksiyonu için sıcaklık profili:**

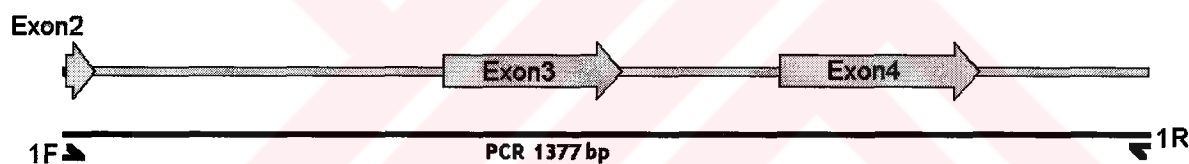
5 dakika 94 C°	İlk denatürasyon
20 saniye 94 C°	
20 saniye 55 C°	33 döngü
30 saniye 72 C°	
5 dakika 72 C°	Son uzama

### **6.7 $\beta$ -Catenin Ekson 2, Ekson 3, Ekson 4 Polimeraz zincir reaksiyonu:**

$\beta$ -catenin genomik DNA dizisi gen bankasından bulunduktan sonra (Genbank Accession no: X89579, X89580, X89581, X89582, X89583 ve NT\_022517) bu dizi Fast PCR® programında işlenerek  $\beta$ -catenin Ekson 2-4 bölgesini kapsayacak sens ve antisens primerleri dizayn edildi.

Sens (F) 5'- CTGTTTGAAAATCCAGCGTGG -3'

Antisens (R) 5'- CATCTGAGGAGAACGCATGA -3'



**Şekil 12: Ekson 2, Ekson 3 Ekson 4 PCR primerleri.**

Bu primerler kullanılarak Polimeraz zincir reaksiyonu ile çoğaltıldı. PCR' da kullanılan maddeler ve son konsantrasyonları Tablo 4 deki gibidir. PCR işlemi sonrasında bant büyütükleri horizontal jel elektroforezi ile değerlendirildi. Agaroz jel elektroforezi 0.5xTBE Tamponu içinde, %3'lük NuSieve® GTG® (FMC), 0.5μg/ml etidyum bromidli jelle 10Volt/cm olacak şekilde 35 dakika yürütüldü. PCR ürünlerinin büyüğünün 1377bp olduğu, 'GeneRuler™ 1kb DNA Ladder (MBI Fermantas) moleküller ağırlık markeri kullanılarak doğrulandı.

**Tablo 8:  $\beta$ -Catenin Ekson 2, Ekson 3, Ekson 4 Polimeraz zincir reaksiyonu için sıcaklık profili:**

5 dakika 94 C°	İlk denatürasyon
45 saniye 94 C°	
30 saniye 56 C°	33 döngü
1 dakika 72 C°	
5 dakika 72 C°	Son uzama

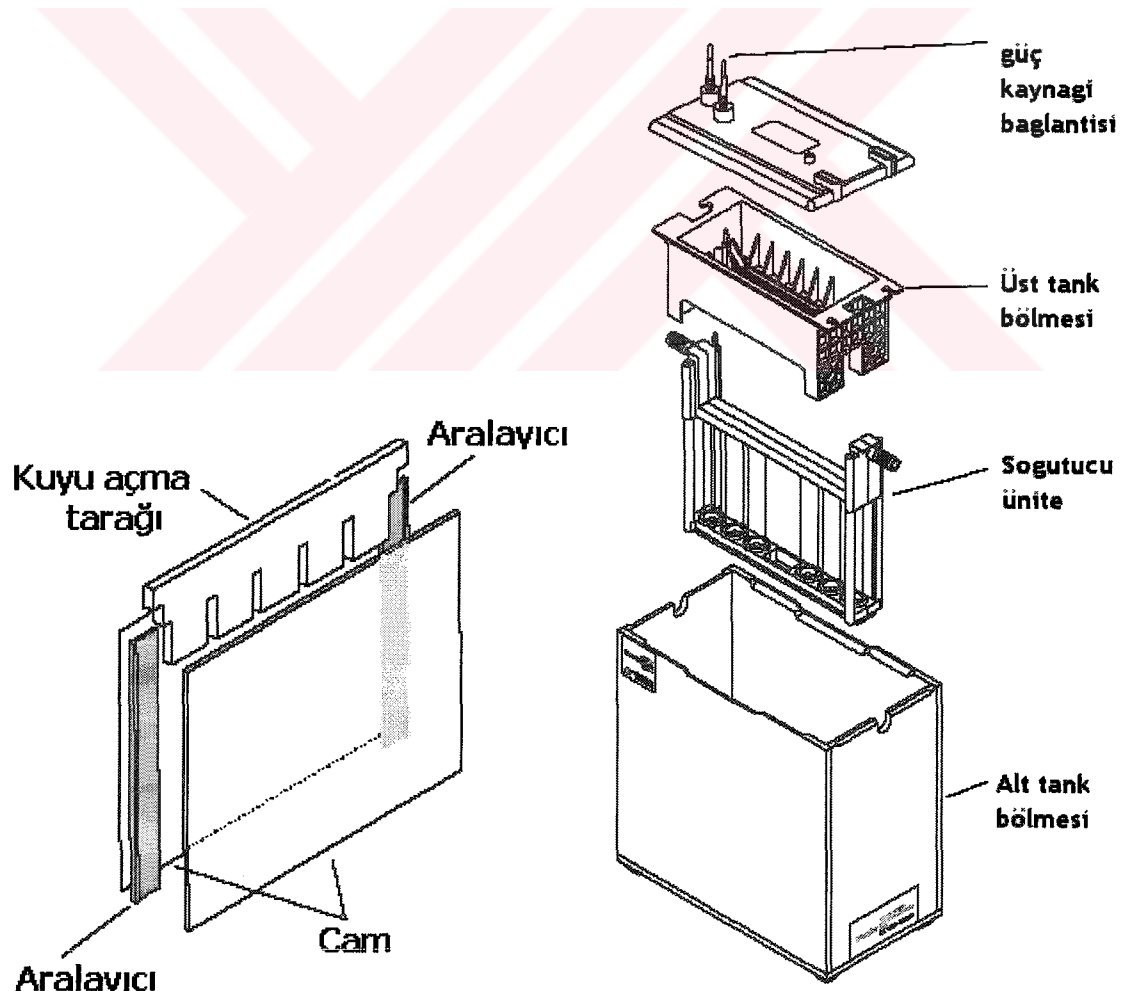
### **6.8 $\beta$ -Catenin Ekson 3, Ekson 4, Ekson 5, Ekson 6 SSCP Analizi:**

PCR ürünlerinin büyülüğu agaroz jelde kontrol edildikten sonra 150-200ng çoğaltılmış DNA (Toplam PCR ürününün %10'u) başka bir PCR tüpüne aktarıldı. Aktarılan miktara göre eşit hacimdeki SSCP jel yükleme tamponu ile karıştırıldı. Örnekler 98 C° de 5 dakika denatüre edildikten sonra, yükleme öncesi 2 dakika buz üzerinde bekletildi.

SSCP jel elektroforezi "Hoefer SE 600 vertikal slab jel elektroforez ünitesi" kullanılarak yapıldı. 18x16 cm' lik cam levha pudrasız eldiven giyilerek dH<sub>2</sub>O ile iyice yıkandıktan sonra kurumaya bırakıldı. Kurulan cam levhalar absolü etanol ile silindi ve kağıt havlu ile kurulandı. Çıkarırken jelin cama yapışmasını önlemek için isopropanol ile yıkandı ve kağıt havlu ile silindi. Aynı şekilde iki levha arasına yerleştirilecek 0.75mm kalınlıkta "spacer" (aralayıcı) ve dişli tarak da isopropanol ile yıkandı ve kağıt havlu ile silindi. Daha sonra camlar arasına 0.75mm aralayıcı yerleştirilerek levhalar birbiri üzerine kapatılarak sıkıştırdı. Örnekler %6-8 'lik nondenatüran poliakrilamid jelde gliserollü veya gliserolsuz olarak 15 C° de sirkülasyonlu su banyosu kullanılarak yürütüldü. Poliakrilamid jel, 37.5:1 oranındaki %40'luk stok poliakrilamid jelden 3ml, 10xTBE tamponundan 1.5ml, ve gliserolden 3ml bir beher içine alınarak 30ml ye dH<sub>2</sub>O ile tamamlanarak hazırlandı. Karıştırılan solüsyonlar 50ml lik enjektöre çekildikten sonra, 0.45  $\mu$ m por çaplı filtreden damla damla süzüldü. Daha sonra solüsyon üzerine 30 $\mu$ l TEMED ve taze hazırlanmış %10'luk 300 $\mu$ l Amonyum persülfat eklendi. Jel zaman kaybetmeden 50ml lik enjektöre çekildi ve camlar arasına döküldü. Jel donmadan önce levhaların üç kısmına tarak yerleştirildi. Jelin polimerizasyonu için en az 2 saat beklandı. Jel

polimerize olduktan sonra 15 kuyulu tarak dikkatli bir biçimde jelden ayrıldı. Kuyular bir insülin enjektör yardımı ile polimerize olmayan akrilamid parçalarını uzaklaştırmak için 0.5xTBE tamponu ile yıkandı. Cam levhalar elektroforez tankına yerleştirildi. Tankın alt bölümü 4 L 0.5x TBE tamponu ile üst bölümü 700ml 0.5 TBE tamponu ile dolduruldu. Sirkülasyonlu su banyosu 15C° a ayarlandı ve elektroforez ekipmanı ile bağlantısı yapıldı böylece elektroforez işlemi 15 C° de gerçekleştirilmiş oldu. Güç kaynağı 4 Watt'a ayarlandıktan sonra örnekler denatüre edilip yüklendi. Örnekler 4Watt güçte 4 saat yürütüldü.

Yürüme işlemi tamamlandıktan sonra jel dikkatlice cam levhalardan ayrıldı, 100ml 0.5xTBE tamponu içinde 1:10 000 dilisyonunda SYBR® Gren II eklenderek 30 dakika karanlıkta bekletildi. Bekleme sonrasında jel translüminatör üzerine yerleştirildi ve 300nm ultraviole altında uyarıldı. Çıkan bantlar eagle eye II® Stratagene görüntüleme sisteminde fotoğraflandı.



**Şekil 13: Hoefer SE 600 vertikal slab jel elektroforez ünitesi parçaları**

## **6.9 $\beta$ -Catenin Ekson 3 ve Ekson 5 DNA Dizi analizi:**

$\beta$ -catenin genomik DNA dizisi Ekson 3 için sens ve antisens, Ekson 5 için sens ve antisens, primerleri ile çoğaltıldıktan sonra DNA dizi analizi işlemi için "Macrogen's Genome Center" firmasına (Güney Kore, Seul) gönderildi. DNA dizi analizi "ABI PRISM 3700 DNA analyzer" kullanılarak yaptırıldı. Firmadan gelen "chromatogram" dosyaları Chromas2.23 bilgisayar programı ile açılarak çıktıları alındı. Her bir örnek için DNA dizileri tek tek gözle değerlendirilerek mutasyon olup olmadığı tarandı.

## **6.10 $\beta$ -Catenin İmmunohistokimyasal yöntem:**

Çalışmaya dahil edilen 14 olgunun  $\beta$ -catenin, progesteron, estrogen ve c-erb için immünohistokimyasal boyamaları ve değerlendirmeleri Bozyaka Sosyal Sigorta hastanesi Patoloji servisinde çalışmamıza bağlı diğer bir araştırma kapsamında yapıldı. İmmünohistokimyasal çalışma için Histopatolojik tanı amacıyla hazırlanmış olan preparatlar gözden geçirildi. Uygun prepatalara ait parafin bloklar belirlendi. Uygun preparat kriterleri:

- materyalin çok büyük olmaması,
- tümör çevresinde normal asiner yapılarının bulunması,
- nekroza gitmemiş tümör alanları içermesi,
- özellikle primer tümörü içeren preparat olmasıdır (LAP veya metastaz olmamalı).

Arşivden uygun olduğu anlaşılan preparatların parafin blokları eşleştirildi. Her bloktan her bir marker için birer tane olmak üzere ve negatif ve pozitif kontroller için de 2 tane olmak üzere toplam 6 adet lizinli lama dokular aldı.

Lizinli lama alınan doku önce deparafinize edildi. Bu işlem etüvde 60-61°C'de yapıldı. Geri kalan parafin xylol ile uzaklaştırıldı. Xylol uygulandıktan sonra preparatların üzerindeki xylol alkol ile yıkanarak uzaklaştırıldı. Formalin ile fiske edilen dokularda antijen maskelenmesini önlemek için preparatlar sıratlı solüsyonda 10dk. kaynatıldı. Bu kaynatma esnasında dokunun lamdan düşmesini lizinli lam önemektedir. Bu aşamadan sonra Primer antikorlar belirli dilisyonda preparat üzerine damlatıldı.  $\beta$ -catenin için Santa Cruze marka (Katalog Numarası:sc-7963) fare monoklonal antikor kullanıldı. Primer antikor da preparatlar belli süre inkübe edildi ve PBS (fosfatlı tamponlu solüsyon ile) yıkama yapıldı. Daha sonra preparatlar üzerine

biyotinlen bağılı sekonder antikor damlatıldı. Belli bir inkübasyon süresi sonunda preparatlar PBS ile yıkandı. Bu aşamadan sonra preparatlar üzerine streptavidin biotin enzim kompleksi damlatıldı ve ardından son olarak kromojen damlatılıp preparatlar ışık mikroskobunda incelemeye alındı.

İmmünhistokimya boyamalar “UltraVision Large Volume Detection System Anti-Polyvalent, HRP” kiti kullanılarak yapılmıştır.

Bu kitteki reagent’lar işaretli bir streptavidin-biyotin immunoenzimatik antijen tarama sistemini oluşturmaktadır. Bu teknik, örneğin, hedef antijene spesifik unkonjuge primer bir antikor ile sıralı enkübasyonunu, primer antikorla reaksiyona giren biyotinlenmiş sekonder antikor, enzim işaretli streptavidin, ve substrat kromojeni kapsar.

### **BOYAMA PROTOKOLU**

- Parafinden arındırılmış rehydrate doku kesitleri, Non-spesifik “background” boyanmayı azaltmak amacıyla endojen peroksidaz sindirim yapılır, Lam hidrojen peroksit içinde 10-15 dakika bekletilir.
- Tamponla 2 kez yıkanır.
- Gerekirse, doku digestive enzim içinde edilir (veya uygun pretreatment yapılır).
- Non-spesifik “background” boyamayı önlemek için oda sıcaklığında 5 dakika bekletilir.
- Lamlar bu bekleme sırasında çalkalayıcı ile çalkalanır.
- Primer antikor uygulanır ve firmanın protokolüne uygun olarak bekletilir.
- Tamponla 4 kez yıkanır.
- Sekonder antikor olarak Biyotinlenmiş keçi Anti-Polyvalent antikor uygulaması yapılır ve oda ısısında 10 dakika bekletilir.
- Tamponla 4 kez yıkanır.
- Streptavidine Peroksidase uygulanır ve oda ısısında 10 dakika bekletilir.
- Tamponla 4 kez yıkanır.

- Firmanın önerilerine uygun seçilen peroxidase-uyumlu kromojen ile bekletilir.
- Negatif boyama yapılır ve lamelle örtülür.

## **6.11 Kullanılan Gereçler, Solüsyonlar ve Kimyasal Maddeler**

### **6.11.1 Kullanılan Gereçler:**

- Major Science Dry Bath inkubatör
- Velp Zx3 Vorteks
- Sorval® MC12V masa üstü santrifüj
- Arçelik mikrodalga fırın
- Grant LT D66 sirkülasyonlu su banyosu.
- ATTA Cross Power 500 Güç kaynağı
- Hoeffer HE33 Mini submarine agaroz jel sistemi
- Hoeffer PS500XT Güç kaynağı
- Hoeffer HE600 Vertikal elektroforez ekipmanı.
- IKA Labortechnik Manyetik karıştırıcı
- MJ Research PTC-100 Thermal denetleyici
- Stratagene Eagle Eye® II jel fotoğraflama sistemi.
- Presica 2200 SCS terazi
- Presica 205A SCS hassas terazi
- Jenway 3320 pH metre
- Aura SD4 vertikal Laminer-air flow
- Philco -20 C° derin dondurucu
- Sanyo -80 C° derin dondurucu
- Arçelik +4 Buzdolabı
- Astell Scientific pastör fırını
- Nanopure saf su cihazı
- Easypure ultra saf su cihazı
- Gelenkamp Etüp

- Gilson Pipetman p10 (0,2 $\mu$ l-10 $\mu$ l)
- Finnpipette (0.5 $\mu$ l-10 $\mu$ l)
- Finnpipette (40 $\mu$ l-200 $\mu$ l)
- Finnpipette (200 $\mu$ l-1000 $\mu$ l)

### **6.11.2        *Kullanılan solüsyonlar:***

- 10XTBE
 

108gr Tris baz (0.04 M)  
 55gr Borik asit  
 40 ml 0.5 M EDTA (pH 8.0)  
 1 litreye distile su ile tamamlanır.
- 5M EDTA
 

186,1gr disodyum EDTA (2 sulu) 1 litreye distile su ile tamamlandı. pH'ı 10 M NaOH ile 8.0'a ayarlandı. Not: EDTA pH 8.0'da çözülür.
- 3M Sodyum Asetat
 

408,1 g Sodyum asetat 1 lt distile suda çözüldü, pH glasiyel asetik asit ile ayarlandı.
- Denatüran jel yükleme tamponu
 

-% 95 Formamid  
 -20mM EDTA  
 -% 0.05 Brom fenol mavisi  
 -% 0.05 Ksilén Siyanol
- Agaroz jel için denatüran olmayan yükleme tamponu (6X)
 

-% 0.25 Brom fenol mavisi  
 -% 40 (W/V) sükroz
- 10 X Taq Polimeraz için çalışma tamponu
 

-10 mM Tris HCl  
 -%0.1 Triton X 100  
 -50 mM KCl  
 -1.5 mM MgCl<sub>2</sub>

- 0.2 mg/ml BSA (Sığır Serum Albümini)
- Tampon pH'ı 9.0
- Primerler  
Primerler 0.2 $\mu$ mol konsantrasyonda ve HPLC (High pressure liquid chromatography) ile saflaştırılmış olarak sentezlettirildi. Liyofilize halde gelen primerler 100 pmol/ $\mu$ l konsantrasyonda olacak şekilde dH<sub>2</sub>O ile çözüldü.
- Etidyum Bromid (10 mg/ml konsantrasyonda)  
100mg etidyum bromid çeker ocak içerisinde tartılarak 10 ml dH<sub>2</sub>O içerisinde çözüldü.
- Amonyum persulfat (%10)  
1 gr. Amonyum persulfat 1 ml' ye tridistile dH<sub>2</sub>O ile tamamlanır.

### **6.11.3 Kullanılan kimyasal maddeler**

- Agaroz (Sigma Kat.No: A 9539)
- NuSieve GTG agaroz (FMC Kat.No:50084)
- Agaroz LE (Promega Kat.No:123325)
- Akrilamid (Sigma Kat. No: A-9099)
- Amonyum persülfat (Sigma Kat.No: A 9164)
- Borik Asit (Sigma Kat.No: B 0394)
- Brom fenol mavisi (Merck Kat.No:61159)
- EDTA pH8.0 0.5M (Applichem Kat.No: 3145)
- Etanol (Carlo ERBA Kat.No: 414608)
- Etidyum Bromid (Sigma Kat.No: E 7637)
- Isoprapanol (Applichem Kat.No:A3928-00)
- N,N'-Metilen -bis-Akrilamid (Sigma Kat. No: M-2022)
- Taq polimeraz(Recombinant)(MBI Kat. No:EPO402)
- Taq polimeraz(Roche Kat No:1146173)
- High Fidelity PCR Enzyme Mix (MBI Fermantas Kat No: EPO510)
- Pfu DNA Polymeraz (Recombinant) (MBI Fermantas Kat No:EPO509)
- DNA Moleküler ağırlık belirleyicisi VIII (Roche Kat No:1336045)

- GeneRuler™ 1kb DNA Ladder (MBI Fermantas Kat No:SM0318)
- GeneRuler™ 100bp DNA Ladder Plus (MBI Fermantas Kat No:SM0321)
- 50bp Step Ladder (Sigma Kat No:S7025)
- 2mM dNTP (MBI Fermantas Kat No:R2049)
- TEMED (Sigma Kat. No: T 7024)
- Trisma-Base (Sigma Kat. No: T 8524)
- Xylene Cyanole FF (Sigma Kat.No: X 4126)
- "Nucleospin Tissue" DNA izolasyon kiti (Macherey-Nagel Kat.No:740.952.50)
- Gliserol (Carlo Erba Kat.No:516852)
- SYBR® GREEN II (Amresco Kat No:K143)
- β-catenin fare monoklonal antikor (Santa Cruze Kata No:sc-7963)
- Universal immünohistokimya kiti "UltraVision Large Volume Detection System Anti-Polyvalent", HRP (Lab vision)
- pH indikatör pH(0-14) (Merck Kat.No:109535)
- 0.45µm Enjektör Filtre (Schleicher&Schwell Kat.No:462200)
- 100-1000µl Filtreli pipet ucu (Corning Kat.No:4809)
- 0.5-20µl Filtreli pipet ucu (Greiner Bio-one Kat.No:771288)
- 10-200µl Filtreli pipet ucu (Greiner Bio-one Kat.No:739288)
- 0.5-20µl Filtreli jel yükleme pipet ucu (Greiner Bio-one Kat.No:775288)
- 0.2ml PCR tüpü (Greiner Bio-one Kat.No:683201)
- 0.5ml PCR tüpü (Greiner Bio-one Kat.No:682201)
- 2ml cryo tüp (Greiner Bio-one Kat.No:122278)
- 1.5ml Tüp (Greiner Bio-one Kat.No:616201)

## 7 BULGULAR

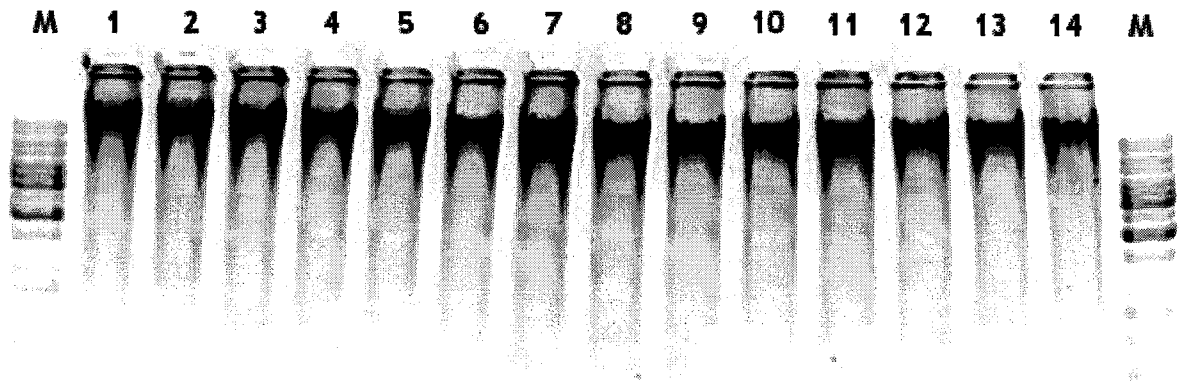
### 7.1 Klinik ve patolojik veriler:

Çalışmaya dahil edilen hastaların klinik ve patolojik verileri Tablo.9 da verilmektedir. Grubu oluşturan hastaların %7.14'ü (1/14) 40 yaş altı, %7.14'ü (1/14) 41-50 yaş arası, %21.42'si (3/14) 51-60 yaş arası, %50'si (7/14) 61-70 yaş arası, %14.28'i (2/14) 71-80 yaş arasında bulunmaktadır. Aile öyküsüne bakıldığından grubun %21.42'sinin (3/14) aile öyküsü vardır. İki hastanın aile öyküsü bulgusuna ulaşılamamıştır. Patolojik açıdan bakıldığından grubun %21.4sinin (3/14) miks tip IDC+IDL histopatolojik tanısı aldığı görülmektedir. Lenf nodu metastazı açısından hastaların % 78.57'si (11/14) pozitif olarak saptanmıştır. Yine grubu oluşturan hastaların %7.14'ü (1/14) derece 1, %21.42'si (3/14) derece2, %57,14'ü (8/14) derece 3 ve %14.28'si (2/14) de derecelendirilemeyen ve derecesi bilinmeyen hastalardan oluşmaktadır. Östrojen reseptörü (Er) pozitif hasta sayısı %64.28 (9/14), negatif hasta sayısı %21.42 (3/14) tür. Progesteron reseptörü (Pr) pozitif hasta sayısı %35.71 (5/14), negatif hasta sayısı %50 (7/14)tür. Epidermal büyümeye faktörü reseptörü (c-erb) immünhistokimyası pozitif olan hastalar %50 (7/14), negatif olan hastalar %21.42 (3/14) tür. Gruptaki hastalardan birinde kemik iliği ve akciğer metastazı, bir tanesinde sol aksiler metastaz ve bir tanesinde de akciğer ve kemik metastazı bulunmaktadır.

**Tablo 9: Çalışmaya dahil edilen hastaların klinik ve patolojik bulguları.**

No	yaş	AÖ	Patoloji	LNM	Gr	Evre	ER	Pr	c-erb	Met	sağ
1	64	+	IDC	+	III	T2N2M0	+	+	-	-	+
2	44	-	IDC+IDL	+	I	T2N1M0				-	+
3	37	-	IDC	+	III	T2N2M0	-	++	+++	Kemik Akc	
4	65	-	IDC	+	III	T3N1M0	+	-	+++		
5	70	-	IDC	-		T2N0M0	+	-		-	+
6	67	+	IDC	+	II	T3N2M0	++	-	-	Sol axilla	+
7	61	-	IDC	+	III	T2N2M0	+++	-	+++		
8	71	-	IDC	+	III	T2N2M0	+++	++	+++	Akc Kemik	
9	53		IDC	+	III	T2N2M0					
10	54	+	IDC+ILC	+	II	T2N1M0	-	-	-	-	+
11	66	-	IDC	-		T2N2M0	+	++		-	
12	79		IDC+ILC	-	II	T4NxM0	+++	-	+	-	+
13	57	-	IDC	+	III	T2N2M0	-	+	+	Lokal nüks	+
14	63	-	ILC	+	III	T1N2MO	+	-	+	-	+

## 7.2 DNA Izolasyonu:

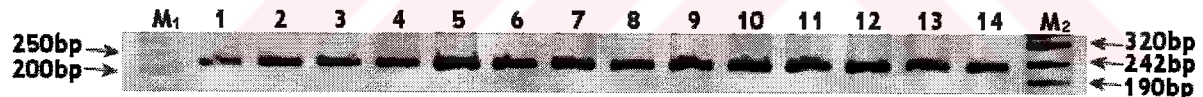


Şekil 14: %1'lik agaroz jelde DNA örnekleri

1-14 hasta DNA'ları, M; DNA ağırlık Belirleyicisi 1kb Ladder® (MBI Fermantas)

## 7.3 PCR Amplifikasyonları:

### 7.3.1 Ekson 3 PCR Amplifikasyonları:



Şekil 15: %3'lük NuSieve® GTG® (FMC) Agaroz jelde Ekson 3 PCR sonuçları (227bp).

Sırası ile M<sub>1</sub>; 50bp step ladder® (Sigma), 1-14 Hasta PCR'ları, M<sub>2</sub>; VIII® (Roche) moleküler ağırlık belirleyicisi.

### **7.3.2 Ekson 4 PCR Amplifikasyonları:**



**Şekil 16: %3'lük NuSieve® GTG® (FMC) Agaroz jelde Ekson 4 PCR sonuçları (253bp).**

Sırası ile M<sub>1</sub>; Marker VIII® (Roche), 1-14 Hasta PCR'ları, M<sub>2</sub>; 50bp step ladder® (Sigma) moleküler ağırlık belirleyicisi.

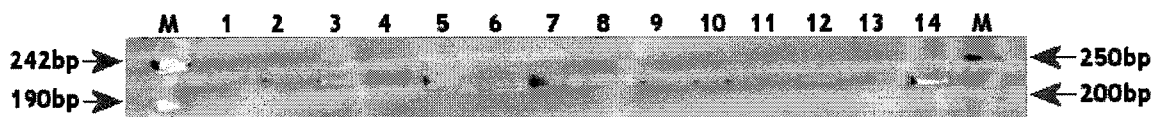
### **7.3.3 Ekson 5 PCR Amplifikasyonları:**



**Şekil 17: %3'lük NuSieve® GTG® (FMC) Agaroz jelde Ekson 5 PCR sonuçları (254bp).**

Sırası ile M<sub>1</sub>; Marker VIII® (Roche), 1-14 Hasta PCR'ları, M<sub>2</sub>; 50bp step ladder® (Sigma) moleküler ağırlık belirleyicisi.

### **7.3.4 Ekson 6 PCR Amplifikasyonları:**



**Şekil 18: %3'lük NuSieve® GTG® (FMC) Agaroz jelde Ekson 6 PCR sonuçları (217bp).**

Sırası ile M<sub>1</sub>; Marker VIII® (Roche), 1-14 Hasta PCR'ları, M<sub>2</sub>; 50bp step ladder® (Sigma) moleküler ağırlık belirleyicisi.

### **7.3.5 Ekson 2, Ekson 3, Ekson 4 PCR Amplifikasyonları:**

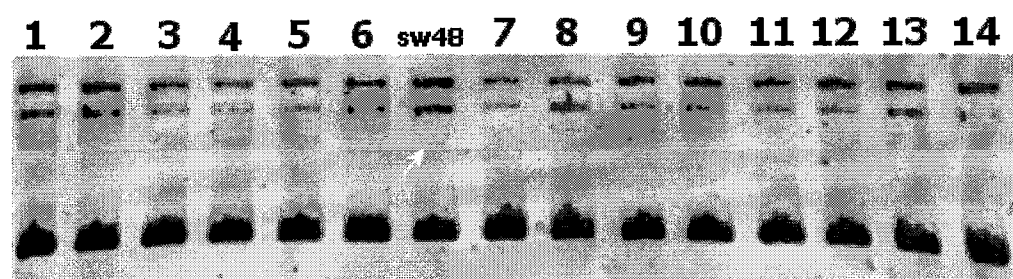


**Şekil 19: %2'lük NuSieve® GTG® (FMC) Agaroz jelde Ekson 2, Ekson 3, Ekson 4 PCR sonuçları (1377bp).**

Sırası ile M<sub>1</sub>; Marker GeneRuler™ 100bp DNA Ladder Plus (MBI Fermantas), 1-14 Hasta PCR'ları, 15 HepG2 (heterozigot 115 aminoasit delesyon) hücre hattı pozitif kontrol, M<sub>2</sub>; Marker VIII® (Roche) moleküler ağırlık belirleyicisi.

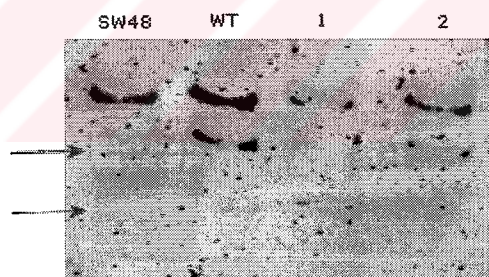
## **7.4 SSCP sonuçları:**

### **7.4.1 $\beta$ -Catenin , Ekson 3 SSCP:**



**Şekil 20: %6'lık non-denatüran %10 gliserollü poliakrilamid jelde, Ekson 3 SSCP sonuçları.**

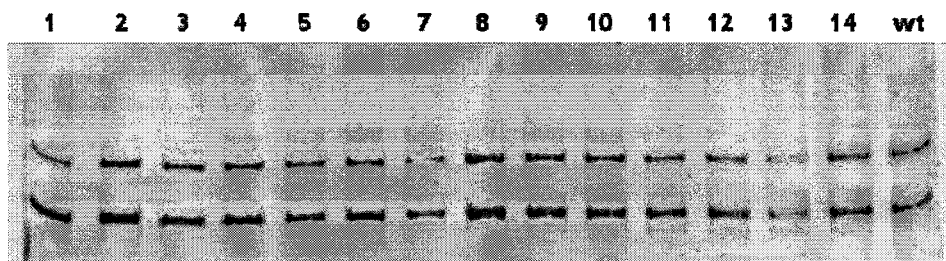
Sırası ile; 1-6 Hasta; sw48 pozitif kontrol hücre hattı, 7-14 hasta örnekleri.



**Şekil 21: %4,5'lük non-denatüran poliakrilamid jelde , Ekson 3 SSCP sonuçları.**

Sırası ile; sw48 pozitif kontrol hücre hattı, wt wild type hücre hattı, örnek 1, ve örnek 2.

#### **7.4.2 $\beta$ -Catenin Ekson 4 SSCP:**



**Şekil 22: %10'luk non-denatüran %10 gliserollü poliakrilamid jelde Ekson 4 SSCP sonuçları.**

Sırası ile; 1-14 hasta wt; wildtype hücre hattı.

#### **7.4.3 $\beta$ -Catenin Ekson 5 SSCP:**



**Şekil 23: %8'lük non-denatüran %5 gliserollü poliakrilamid jelde Ekson 5 SSCP sonuçları.**

Sırası ile; 1-14 hasta wt; wildtype hücre hattı.

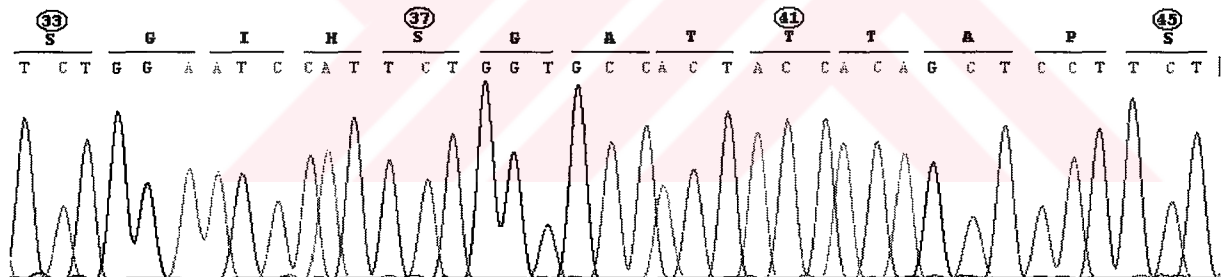
#### 7.4.4 $\beta$ -Catenin Ekson 6 SSCP:



**Şekil 24:** %8'lik non-denatüran gliserolsüz poliakrilamid jelde Ekson 6 SSCP sonuçları.

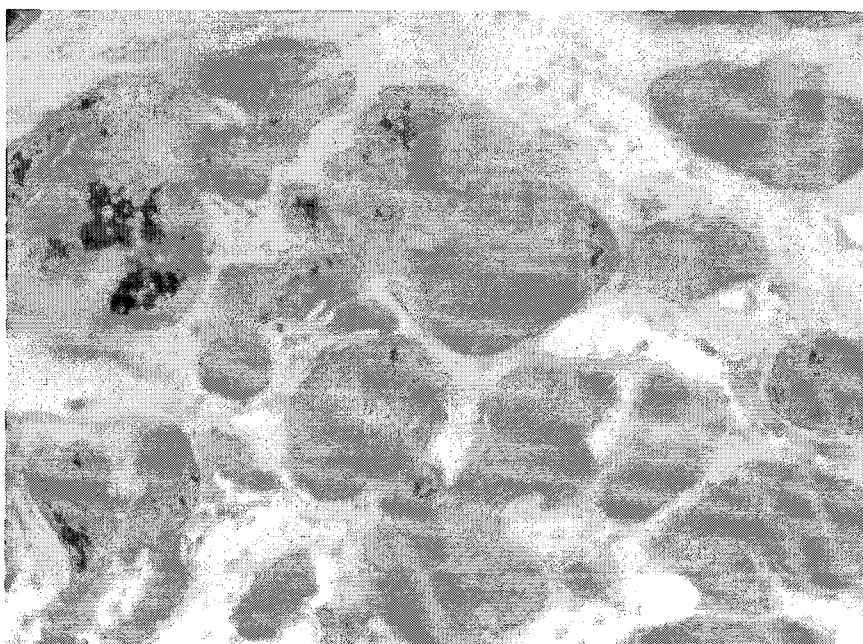
Sırası ile; 1-14 hasta wt; wildtype hücre hattı.

#### 7.5 DNA Dizi analizi sonuçları



**Şekil 25:** 1 numaralı örneğe ait DNA dizi analizi kromatogram görüntüsü.

## **7.6 İmmünohistokimyasal Boyama:**



**Şekil 26: İnvaziv duktal karsinoma da  $\beta$ -catenin İmmünohistokimyasal Boyama görünümü.**

## 8 SONUÇ VE ÖNERİLER

**Tablo 10: 14 İnvaziv duktal karsinom olgusuna ait  $\beta$ -catenin immünohistokimya ve N-ucu mutasyon sonuçları.**

No	Yaş	AÖ	Patoloji	Gr	Evre	ER	PR	c-erb	$\beta$ -cat Imm	$\beta$ -cat mut
1	64	+	IDC	III	T2N2M0	+	+	-	+++	-
2	44	-	IDC+ILC	I	T2N1M0	*	*	*	+++	-
3	37	-	IDC	III	T2N2M0	-	++	+++	+	-
4	65	-	IDC	III	T3N1M0	+	-	+++	-	-
5	70	-	IDC	*	T2N0M0	+	-	*	++	-
6	67	+	IDC	II	T3N2M0	++	-	-	+	-
7	61	-	IDC	III	T2N2M0	+++	-	+++	++	-
8	71	-	IDC	III	T2N2M0	+++	++	+++	+	-
9	53	*	IDC	III	T2N2M0	*	*	*	+	-
10	54	+	IDC+ILC	II	T2N1M0	-	-	-	+++	-
11	66	-	IDC	*	T2N2M0	+	++	*	++	-
12	79	*	IDC+ILC	II	T4NxM0	+++	-	+	+++	-
13	57	-	IDC	III	T2N2M0	-	+	+	+++	-
14	63	-	IDC	III	T1N2M0	+	-	+	+	-

Kısaltmalar: AÖ: Aile öyküsü, IDC: İnvaziv duktal karsinom, ILC: İnvaziv lobüler karsinom, ER: Östrojen reseptörü, PR: Progesteron reseptörü,  $\beta$ -cat imm:  $\beta$ -catenin immünohistokimya boyaması,  $\beta$ -cat mut:  $\beta$ -catenin mutasyonu, \*: ulaşılamayan veri.

Sonuç olarak, başta İnvaziv duktal karsinolar olmak üzere sporadik meme kanserlerinde  $\beta$ -catenin N-ucu mutasyonlarının kanserleşme sürecinde bir önem taşımadığı düşünülmektedir. Literatürde sporadik kanserlerle yapılan çalışmalarda  $\beta$ -catenin N-ucu mutasyonlarının frekansı çok düşüktür. Bizim çalışmamızda bunu destekler niteliktedir. Çalışma bize İnvaziv duktal karsinom progresyonunun farklı

kanser yolağı üzerinden olduğu düşünülmektedir. Meme ve İnvaziv duktal karsinomu  $\beta$ -catenin mutasyonu araştırılması açısından ilk çalışmalarından biri olan bu çalışmanın devamında, hasta sayısı arttırılarak, Wnt yolağında rol alan diğer genler ile meme karsinomu arasındaki ilişkinin bakılmasının yararlı olacağı düşüncesindeyiz



## **9 TARTIŞMA**

Onkogenik mutasyonlar, hücrelerin sinyal iletim yolaklarında görev alan proteinlerin değişimine neden olarak etki gösterirler. Bu etki, sinyal iletimi basamaklarında doğal olmayan sinyallerin ortayamasına ve/veya sinyal iletisinin aktarılmamasına neden olabilir. Bu değişimler hücre tarafından tolere edilmediği durumlarda spontan hü cresel yanıt gözlenir. Büyüme faktörlerinin farklı komponentlerini kodlayan genlerin mutasyonları hücre bölünmesinin kontrolünün kaybına ve sonuç olarak bu hücrenin kanserleşme sürecine yol açabilir. Önemli işlevleri nedeniyle hü cresel onkogenler evrimsel olarak korunmuşlardır, yapı ve işlevleri uzak akraba çok hücreli canlılarda benzer yada aynıdır.

Wnt sinyal yolağının, *Drosophila melanogaster*, *Xenopus laevis*, *Caenorhabditis elegans* ve Fare'de evrimsel olarak korunduğu gösterilmiştir. Bu yolakta görev alan proteinler, gelişimsel süreçte, vücut şekil ve eksen oluşumunda görev alırlar. Doku ve organ gelişimini belirleyen böyle önemli bir yolağın yapıtaşlarını oluşturan proteinlerinin herhangi birinin işlevini yerini getirememesi sonucunda hücre bölünmesinin kontrolünün kaybına ve sonuç olarak bu hücrenin kanserleşme sürecine yol açabilir. Bu konudaki en iyi çalışmalarдан biri, Wnt-1 in fare tümör virus kaynaşma bölgesinin 'integration site' proto-onkogen olarak tanımlanmasıdır.<sup>76</sup> Bu entegrasyon ile Wnt-1'in yanlış ekspresyonu sonucunda meme tümörü veya nöral tüp hiperplazisioluştuğu tanımlanmıştır.

Wnt geninin porto-onkogenik etkisi 1982 yılında Nusse ve Vermus tarafından tanımlanmıştır.<sup>26</sup> Bu çalışmadan sonra *Drosophila melanogaster*'da 'Wingless' yolağı tanımlanmış ve bu yolaktaki gen defektleri ile çeşitli kanserlerin ilişkisi araştırılmıştır.<sup>44</sup> İnsan kanserlerinde Wnt yolağındaki genlerde proteinin fazla üretimi veya az üretimi çalışmaları yapılmış fakat bu çalışmalar mRNA ekspresyon düzeyinin bu kanser tipleri ile korelasyonundan öteye gitmemiştir. Wnt ligand veya reseptörlerini kodlayan genlerde mutasyon, yeniden düzenlenme veya amplifikasyonlar herhangi bir kanser tipi ile tam olarak ilişkilendirilememiştir.<sup>44</sup>

Yakın zamanda, kolorektal kanserlerle ilişkisi tanımlanmış bir tümör baskılıyıcı gen olan APC geninin, Wnt sinyal yolağında negatif düzenleyici olduğu bulunmuştur. APC bu yolakta esansiyel olarak görev alan  $\beta$ -catenin'in degredasyonuna neden olmaktadır. Bu verilerin ortaya çıkması ile, mutant APC bulunan kolon kanserinde  $\beta$ -

catenin düzeyi yüksekliği ve bu yolağın yapısal olarak aktivasyonunun nedeni tanımlanmış oldu. APC gen mutasyonu bulunmayan kanserlere bakıldığında, kanser oluşumunda  $\beta$ -catenin'in N-terminal bölgesinde bulunan ve fosforilasyonu ile  $\beta$ -catenin'in degredasyondan sorumlu olan aminoasitleri kodlayan bölgelerdeki mutasyonların artmış olduğu saptanmıştır. Özellikle replikasyon hatası yüksek bulunan (Replication Error-positive) kolon kanserlerinde mikrosatellit instabilite ile birlikte değerlendirildiğinde  $\beta$ -catenin geni mutasyon frekansı yüksektir. İlginç olarak endometrial kanserlere bakıldığında, mikrosatellit instabilitiesi ve  $\beta$ -catenin mutasyonu arasındaki böyle bir korelasyon yoktur.<sup>84</sup>

Agresif fibromatozis, diğer bir adı ile desmoid tümörler, lokal olarak invaziv bir büyümeye gösterirler ve bu tip kanserler FAP fenotipi ile direkt ilişkilidirler. FAP bireyleri APC mutasyonu taşımaktadır ve erken yaşta intestinal adenom görülme olasılığı çok sıktır. Desmoid tümörler kolorektal kanserlerde APC geninin her iki allelinin kaybı ile sporodik olarak görülmektedir. Bu iki genotipte  $\beta$ -catenin'in N-terminal bölgesinde mutasyonlar saptanmıştır. Shitoh ve Tejpar kırk iki desmoid tümörlü hasta ile yaptığı çalışmada, 21 örnekte  $\beta$ -catenin geni mutasyonu saptanmıştır. Bu çalışmada dokuz örnekte APC geni mutasyonu saptanmış fakat bu mutasyonlar  $\beta$ -catenin gen mutasyonu içeren örneklerle örtüşmemiştir.

FAP bireylerinde kolon bölgesinde artmış kanser insidansına rağmen, bir çok kanser tipi için APC geninin her iki allelinin inaktiv olma olasılığı çok zayıftır. Bu birçok doku tipinde  $\beta$ -catenin stabilizasyonunun kanser başlatıcı neden olduğunu gösterebilir fakat; APC geninin her iki allelinin mutasyon sonucu inaktiv olmayacağı anlamına gelmemektedir.<sup>44</sup> Wnt yolağındaki APC'den farklı diğer genler onkogenik mutasyonlara daha açıktır ve aktivasyonunun kaybı için APC genindeki gibi her iki allelinin inaktiv olması gerekmektedir.<sup>33</sup> Literatüre bakıldığında çeşitli tümörlerle Wnt yolağındaki onkogenik mutasyonlara açık olan bu genler arasındaki ilişki tanımlanmaya çalışılmıştır.

GSK3 $\beta$  Wnt yolağında negatif düzenleyici olarak rol almaktadır ve potansiyel bir tümör baskılıyıcı gendir. GSK3 $\beta$ 'nın mutant olduğu herhangi bir kanser tipi tanımlanamamıştır. Bu GSK3 $\beta$ 'nın hücrenin yaşamsal aktiviteleri için gerekli olduğu anlamına gelmektedir.<sup>44</sup>

Wnt yolağında pozitif düzenleyici olarak görev alan diğer bir protein Dsh proteinidir. Wnt yolağının akış yönünde görev alan bu proteinin iki ana görevi vardır

bunlardan biri  $\beta$ -catenin'in stabilizasyonu diğer ise jun kinaz aktivasyonudur. Neoplastik transformasyonda Dsh'in fazla ekspresyonu veya konstitisyonal aktivasyonu beklenebilir fakat şimdije kadar bu proteinin ilişkili olduğu herhangi bir kanser türü tanımlanamamıştır.<sup>44</sup>

Wnt yolağında en çok çalışılan bileşenlerden biri kuşkusuz  $\beta$ -catenin dir.  $\beta$ -catenin bu yolağın temel proteinlerinden biridir ve bu yolağın işleyiş mekanizması üzerinde kilit görevi görmektedir.  $\beta$ -catenin, Wnt yolağındaki kilit rolünün yanında, membrana bağlı E-cadherin ve epidermal büyümeye faktörüne bağlanarak hücre adezyonu ve hücre-hücre bağlantılarında önemli rol almaktadır.<sup>57</sup> Literatürde, Wnt yolağında esansiyel görev alan bu gen ürünü ile kanser ilişkisi arasında bir çok çalışma yapılmıştır.

FAP bireylerinde Hepatoblastom insidansı artmıştır. Bu tümörlerde, APC'nin her iki allelinin kaybı ile görülen sporadik form nadir olarak görülmektedir.<sup>76</sup> Hepatoblastom olgularında  $\beta$ -catenin mutasyonu çalışılan üç farklı çalışmada  $\beta$ -catenin gen mutasyonu frekansı yüksek bulunmasına rağmen APC geninde herhangi bir mutasyon saptanamamıştır.<sup>78,79,80</sup>

Beckwidth-Wiedemann sendromu hepatoblastoma ile direkt alakalıdır. Beckwidth-Wiedemann sendromundaki genetik bozuklıkların nedeni Wnt sinyal yolağındaki mutasyonlar olarak gösterilmiştir. Nitekim bu tür vakalarda  $\beta$ -catenin gen mutasyonları yüksek frekansta saptanmıştır. Bu yüksek medullablastom riski görülen ve germ hattında APC mutasyonları bulunan Turcot sendromunda aynıdır. Bunun yanında sporadik medullablastom vakalarında, APC ve  $\beta$ -catenin geninde çok nadir mutasyon saptanmıştır.<sup>44</sup>

Hepatosellüler karsinolar Wnt sinyal yolağında yerleşik birçok mutasyon ile karakterize bir kanser türüdür. Hepatit C virüsü ile ilişkili Hepatosellüler kanserlerde  $\beta$ -catenin gen mutasyonu ~%20 olarak bulunmuştur. İnvaziv ve intrasellüler bölgede tümörün histolojik olarak görüldüğü daha kötü prognozu hepatosellüler kanserlerde immünohistokimyasal olarak  $\beta$ -catenin'in nükleer boyaması gösterilmiş ve bu vakalarda  $\beta$ -catenin gen mutasyonu daha yüksek frekansta saptanmıştır.<sup>81</sup> Başka bir hepatosellüler kanser çalışmasında ise genomdaki heterozigosite kaybı ile  $\beta$ -catenin gen mutasyonu arasında ters bir korelasyon saptanmıştır. Bu çalışma kromozomal instabilite ve  $\beta$ -catenin mutasyonunun hepatosellüler kanser gelişiminde alternatif yolaklar olduğunu göstermektedir.<sup>44</sup>

Hepatosellüler karsinom da dikkat çekici başka bir nokta c-myc ve Cyclin D1 genlerinde görülen amplifikasyonlar dır. Bu genler Wnt sinyal iletim yolağının β-catenin'den sonraki akış yönünde bulunmaktadır. Literatüre bakıldığından, bu gen ürünleri amplifikasyonu görülen hepatosellüler kanserlerde β-catenin mutasyonlarının yüksek sıklıkta olduğu görülmektedir.<sup>81</sup>

Farede SV 40 T antijeni transgenik ekspresyonu ile yapılan Hepatosellüler kanser modelinde, β-catenin mutasyonu bulunamamıştır. SV40 T-antijeni Retinoblastoma proteinine bağlanmakta ve bu proteini bloke ederek Cyclin D1 aktivasyonu sağlamaktadır. Böyle bir kanser gelişiminde zaten β-catenin gen mutasyonu beklenmemektedir. Bu çalışmaya karşılık, fare karaciğerinde transgenik c-myc ekspresyonunda β-catenin geninde mutasyonlar saptanmıştır. Bu veriler ışığında c-myc başlangıçlı Hepatosellüler karsinom progresyonunun farklı kanser yolağı üzerinden olduğu bildirilmiştir.<sup>117</sup>

Hepatosellüler karsinom da birbirinden farklı β-catenin mutasyonları tanımlanmıştır. Bu kanser başlangıcının multifokal olduğu anlamına gelmektedir. Huang ve arkadaşlarının aynı hastanın farklı tümör alanları ile yaptığı çalışmada farklı tümör alanlarından alınan örneklerde farklı bölgelerde β-catenin gen mutasyonları saptanmıştır.<sup>44</sup>

Wilm's tümör geni mutasyonu bulunan pediatrik böbrek kanserli hastalar ile yapılan başka bir çalışmada β-catenin geninde %15 oranında mutasyon saptanmıştır. Bu çalışma β-catenin gen mutasyonunun diğer bir onkogenik defektten sonra ortaya çıkan bir mutasyon olabileceğini göstermektedir.<sup>92,93</sup>

Melanoma ve prostat kanserleri gibi ailesel olmayan diğer kanser türlerinde β-catenin mutasyonu düşük frekansta görülmektedir.<sup>44</sup> Rimm ve arkadaşlarının 65 melanom örneği ile yaptığı çalışmada sadece bir örnekte β-catenin mutasyonu saptanmıştır. Bu melanom örneklerinde β-catenin'in immünohistokimyasal olarak nükleer lokalizasyonu bir ile üç pozitiflik arasında değişmektedir.<sup>118</sup> Bu çalışma bize ailesel olmayan bu tip tümörlerin kanserleşme sürecinde Wnt yolağında β-catenin stabilizasyonundan farklı bir mekanizma kullandığını göstermektedir.

Çalışmamızda bu konuda daha önce çalışılmamış olması nedeni ile meme karsinom gurubu kullanılmıştır. Çalışma planlanırken meme kanseri tiplerinde en agresif seyreden İnvaziv duktal karsinom örnekleri değerlendirmeye alınmıştır.

Çalışmanın değerlendirilmesinde  $\beta$ -catenin proteininin fosforilasyon ile stabilizasyonundan sorumlu olan N-ucunda yerlesik 33, 37, 41, 45. kodonları ve Kazein Kinaz-2 nin fosforilasyonunda görev alan kodon 183, 245, ve adezyondon sorumlu olan 287 inci kodonunu kapsayan DNA bölgesi (Ekson 3, Ekson 4, Ekson 5, Ekson 6) mutasyon açısından değerlendirilmiştir.

Hasta örneklerinden DNA izolasyonu sonrasında  $\beta$ -catenin geni sekansı Gen bankasından kaydedilerek ekson intron yerleşimleri çıkarıldı. Bu işlemden sonra bu sekanslar Fast PCR programında açılarak uygun siccaklıklarda PCR primerleri yaratıldı. Primerler sentez ettirildikten sonra her primer çifti için PCR amplifikasyon reaksiyonu optimizasyon işlemi yapıldı. SSCP yöntemi temeli konformasyona dayandığı için reaksiyonda konformasyonu etkileyebilecek her türlü parametre ekarte edildi bunun için, amplifikasyonlar sonrasında nonspesifik bantlara neden olabilecek etkenleri ortadan kaldırmak amacıyla her reaksiyon tekrarlanan denemeler sonucunda elde edilen uygun sıcaklık profili ve reaksiyon konsantrasyonunda amplifikasyonlar gerçekleştirildi.

Çalışmada ekson 3 için pozitif kontrol olarak daha önceden  $\beta$ -catenin mutasyonu tanımlanmış olan SW48 kolon karsinom hücre hattı DNA'sı kullanılmıştır. Bu hücre hattı elimizde olmadığı için "GSF-National Research" merkezinde Natali Pellegata'dan tedarik edilmiştir.

Çalışmada pozitif kontrol olarak kullanılan diğer bir hücre hattı HepG-2 Hepatosellüler karsinom hücre hattıdır. Çalışma sırasında bu hücre hattı DNA'sı ekson 3 için primerler ile PCR ile çoğaltılarak asıl iplik için dizayn edilen primer ile DNA dizi analizi yapıldığında elde edilen DNA dizilerinde herhangi bir delesyon saptanamadı. Literatüre bakıldığındaysa bu hücre hattının 125 aminoasitlik heterozigot delesyonunun olduğu saptandı. DNA dizisi primerler ile karşılaştırıldığına antisens iplikteki primerin bağlanma bölgesindeki delesyonun içinde kaldığı ve dolayısı ile PCR sırasında bu hücre hattı DNA'sının sadece bir allelinin çoğaltıldığı ve DNA dizi analizinin de tek allele ait olduğu saptandı. Bunun üzerine kendi örneklerimizde böyle bir durum ile karşılaşmamak için, büyük heterozigot delesyonları tanımlamada (ekson2-4) primerleri dizayn edildi. Şekil 19'da HepG-2 DNA'sının ekson 2-4 primerleri ile PCR ile çoğaltılmış her iki allelide görülmektedir.

Çalışmamızda 2 nolu örnekte ekson 5 primerleri ile yapılan SSCP ile farklı iki bandın jelde varlığı saptandı. (Şekil 23 örnek no.2) Literatürde SSCP teknigi için PCR

yapılırken enzim olarak hata oranı düşük enzim kullanılması gerekiği veya farklı bant paterni görünümlerinin hata oranı düşük olan enzim ile (High fidelity taq) tekrarlanması gerekiği belirtilmiştir. Çalışmamızda 2 nolu örnek için hata oranı düşük enzim ile tekrar reaksiyon kurulmuş ve SSCP jelinde farklı bir bant saptanmamıştır. Aynı reaksiyon DNA dizi analizi yapılmış ve herhangi bir mutasyon saptanmamıştır. Bunun sonucunda ilk SSCP deki farklı bant paterninin Taq polimerazın hata oranının yüksekliğinden dolayı reaksiyon sırasında yanlış baz eşleştirmelerinden kaynaklandığı şeklinde yorumlanmıştır.

SSCP jelinde, örnekler jele yüklenmeden önce denatüre edildiği için ayrı yürüyen, birbirinin komplementeri iki ipligin, iki bant paterni vermesi gerekmekte veya alleller farklı ise dört bant vermesi gerekmektedir. Bizim çalışmamızda da ekson 3 ve ekson 5 amplifikasyonlarında dört adet, ekson 4 ve ekson 6 amplifikasyonlarında iki adet bant görülmektedir.

SSCP de jel görüntüleme yöntemi olarak üç farklı yöntem kullanılmaktadır. Bunlar; radyoaktif yöntem, gümüş boyama yöntemi ve Syber Green II ile boyama yöntemidir. Çalışmamızda radyoaktif malzeme ile çalışmaya uygun ortamımızın olmaması nedeni ile bu yöntem kullanılmamıştır. Gümüş boyama yöntemi görüntüleme yöntemi olarak en sık kullanılan tekniktir. Bu yöntemin dezavantajı boyama sürelerinin uzunluğu ve optimizasyonunun zaman almasıdır. Çalışmamızda görüntüleme tekniği olarak daha standart bir yöntem olması nedeniyle tek iplikli DNA örneğine bağlanma özelliği gösteren Syber Green II boyası seçilmiştir.

Meme kanserlerinin bir alt tipi olan invaziv duktal karsinomundaki  $\beta$ -catenin N-ucu mutasyonlarının ve  $\beta$ -catenin'in hücresel lokalizasyonunu belirlendiği bu çalışma literatürdeki  $\beta$ -catenin mutasyonu çalışmalarının arasında memede invaziv tipteki çalışmalar arasında ilktir.

Çalışmada sitoplazmik olarak  $\beta$ -catenin immünohistokimyasal boyama ile üç pozitif boyanan ve ekson 3 mutasyonu bulunmayan örnekler bulunmaktadır. Sitoplazmadaki yoğun boyanan bu  $\beta$ -catenin fazlalığı,  $\beta$ -catenin'in degredasyonunun yapılamadığı anlamına gelmektedir.

Kanser gelişiminde c-myc, insülin benzeri büyümeye faktörü, Transforming büyümeye faktörü gibi hücresel onkogenlerin aktivasyonun yanı sıra, Tp53, Retinoblastoma gibi tümör baskılıyıcı gen inaktivasyonları rol oynamaktadır. Çalışmamızda literatürde kanser gelişimine neden olan etmenler dalında önemli bir yer alacağını ummaktayız.

## **10 EKLER**

### **10.1 EK-1**

#### **HASTA BİLGİLENDİRME VE ONAY FORMU**

Bu çalışmada meme kanserine neden olan etmenlerin araştırılması amaçlanmıştır. Bunun için operasyonunuz için alınacak olan meme dokunuzdan ve yine operasyonda alınacak olan parçanın cerrahi sınırları içindeki normal dokunuzdan mercimek büyülüğünde bir parça alınacak ve bu parçalarda beta catenin geni mutasyon açısından incelenecaktır. Sizden alınan bu örnekte başka bir amaçla kullanılmayacaktır. Size bu araştırmamanın sonuçları yazılı olarak iletilecektir.

**Çalışmaya katılmayı ONAYLIYORUM / ONAYLAMIYORUM.**

Onayı veren kişinin

Adı ve Soyadı:

Tarih:

İmza:

Onayı alan kişinin

Adı ve Soyadı:

Tarih:

İmza:

## **11 KAYNAKLAR**

<sup>1</sup> Ahmedin Jemal, PhD, DVM; Taylor Murray; Alicia Samuels, MPH; Asma Ghafoor, MPH; Elizabeth Ward, PhD; Michael J. Thun, MD, MS. Cancer Statistics, 2003. CA Cancer J Clin 2003;53:5-26

<sup>2</sup> Kathryn O'Brien, MPH; Vilma Cokkinides, PhD, MSPH; Ahmedin Jemal, DVM, PhD; Cheryll J. Cardinez, MSPH; Taylor Murray; Alicia Samuels, MPH; Elizabeth Ward, PhD; Michael J. Thun, MD, MS. Cancer Statistics for Hispanics, 2003. CA Cancer J Clin 2003;53:208-226

<sup>3</sup> ICR Section of Cell Biology and Experimental Pathology and The Breakthrough Toby Robins Breast Cancer Research Centre, ICR RMT Breast Unit RMT/ICR Academic Department of Biochemistry. Special Topics: Breast Cancer. The Royal Mardesden nhs trust—the institute of cancer research annual research report. 1998; 66-76

<sup>4</sup>[http://www.nationalbreastcancer.org/signs\\_and\\_symptoms/index.html](http://www.nationalbreastcancer.org/signs_and_symptoms/index.html). 2003

<sup>5</sup> Miki Y, Swensen J, Shattuck-Eidens D, et al.: A strong candidate for the breast and ovarian cancer susceptibility gene BRCA1. Science 266(5182): 66-71, 1994.

<sup>6</sup> Wooster R, Neuhausen SL, Mangion J, et al.: Localization of a breast cancer susceptibility gene, BRCA2, to chromosome 13q12-13. Science 265(5181): 2088-2090, 1994

<sup>7</sup> Hajra KM, Fearon ER. Cadherin and catenin alterations in human cancer. Genes Chromosomes Cancer. 2002 Jul;34(3):255-68.

<sup>8</sup> Mc Corming. Signaling Networks that cause cancer. Tcb vol 9 no:12 M53-M56

<sup>9</sup> Olgular Işığında meme kanseri 2003, 1,2.

<sup>10</sup> Izmir Kanser İzlem ve Denetim Merkezi (KIDEM)  
<http://www.ato.org.tr/konuk/kidem/index.html>

<sup>11</sup> Mc Pherson K, Steel CM, Dixon JM. Breast cancer epidemiology, risk factors, and genetics. BMJ 2000; 321 624-628

<sup>12</sup> Cotran SR, Kumar V, Robbins LS. Robbins pathologic bases of disease. 6th ed. Philadelphia, Saunders, 1999

---

<sup>13</sup> Lippman ME. Epidemiology of breast cancer. In: Dantforth D, Licher AS, Lippman ME.(eds) Diagnosis and management of Breast cancer. Philadelphia, Saunders, 1988, p.1-9

<sup>14</sup> Anderson DE, Badzioch MD. Survival in breast cancer patients. Cancer 1986; 58; 360-365

<sup>15</sup> Howe H, Senie R, Bzsuch H, et al. Early abortion and breast cancer risk in women under age 40. Int J Epidemiol 1989;18:300.

<sup>16</sup> Newcomb P, Storer B, Longnecker M, et al. Lactation and a reduced risk of premenopausal breast cancer. N Engl J Med 1994;330:81

<sup>17</sup> Cancer Committee of the College of American Pathologists. Is fibrocystic disease of the breast precancerous? Arch Pathol Lab Med 1986;110:171

<sup>18</sup> Sillero-Arenas M, Delgado-Rodriguez M, Rodigues-Canteras R, et al. Menopausal hormone replacement therapy and breast cancer: a meta-analysis. Obstet Gynecol 1992;79:286.

<sup>19</sup> Collaborative Group on Hormonal Factors in Breast Cancer: Breast cancer and hormonal contraceptives: collaborative reanalysis of individual data on 53,297 women with breast cancer and 100,239 women without breast cancer from 54 epidemiological studies. Lancet 347(9017): 1713-1727, 1996.

<sup>20</sup> Longnecker M, Berlin J, Orza M, et al. A meta-analysis of alcohol consumption in relation to breast cancer risk. JAMA 1988;260:642

<sup>21</sup> Bastarrachea J, Hortobagyi GN, Smith TL, et al.: Obesity as an adverse prognostic factor for patients receiving adjuvant chemotherapy for breast cancer. Annals of Internal Medicine 120(1): 18-25, 1994.

<sup>22</sup> Clark G.M. Prognostic and predictive factors Disease of the breast. Lippincott-Raven Philadelphia 1996; 461-485.

<sup>23</sup> Fisher B., Bauer M., Wickerman L. Relation of number of positive axillary nodes to the prognosis of patients with primary breast cancer. An NSABP update. Cancer 52:1555-1557 1983

<sup>24</sup> Milis R.R., Hanby A.M., Girling A.C. Diagnostic surgical pathology. Vol.1 Second ed. New York, Raven Pres, 2354-2385.

---

<sup>25</sup> Summary List of Clarifications to AJCC Cancer Staging Manual, 6th Edition. American Joint Committee on Cancer, Chicago, 2003.

<sup>26</sup> Nusse R, Varmus H.E. Many tumors induced by the mouse mammary tumor virus contain a provirus integrated in the same region of the host genome. *Cell* 31: 99-109 1982

<sup>27</sup> Nusse R, Varmus HE. Wnt genes. *Cell*. 26;69(7):1073-87 1992.

<sup>28</sup> Nusse R, The Wnt gene family in tumorigenesis and in normal development. *J Steroid Biochem Mol Biol*. 43(1-3):9-12 1992.

<sup>29</sup> Cabrera C.V, Alonso M.C, Johnston P, Philips R.G, Lawrence PA Phenocopies induced with antisense RNA identify the wingless gene. *Cell* 50: 659-663 1987

<sup>30</sup> Rijsewijk F, Schuermann M, Wagenaar E, Parren P, Weigel D, Nusse R. The Drosophila homolog of the mouse mammary oncogene int-1 is identical to the segment polarity gene wingless. *Cell* 50: 649-657 1987

<sup>31</sup> <http://www.stanford.edu/~rnusse/wntwindow.html> (2003)

<sup>32</sup> Johan H, Nick B, Hans c: you Wnt some, you lose some: oncogenes in the Wnt signaling pathway. *Curr. Opin. in genetics & Dev.* 13:28-33 2003.

<sup>33</sup> Peifer M., Polakis P. Wnt signalling in oncogenesis and embryogenesis –a look outside the nucleus. *Science* 287:1606-1609 2000.

<sup>34</sup> Kuhl M., Sheldahl L.C., Park M. The Wnt/Ca<sup>2+</sup> pathway: a new vertebrate Wnt signaling pathway takes shape. *Trends Genet.* 16:279-283. 2000

<sup>35</sup> Peifer M., McEven D.G. The balet of morphogenesis: unveiling the hidden choreographers. *Cell* 109: 271-274 2000

<sup>36</sup> Akiyama T. Wnt/β-catenin signaling. *Cytokine&Growth factor Reviews* 11: 273-282. 2000

<sup>37</sup> Keiko M., Lothar H. β-Catenin: a transforming actor on many stages. *Breast Cancer Res*, 5:63-68 2003

<sup>38</sup> Saneyoshi T., Kume S., Amasaki Y. The Wnt/calcium pathway actives NF-AT and promotes ventral cell fate in *Xenopus* embryos. *Nature* 417: 295-299 2002.

---

<sup>39</sup> Sokol S. A role for Wnts in morphogenesis and tissue polarity. *Nat. Cell Biol.* 2: E124-E125 2000.

<sup>40</sup> Thompson B., townsley F., rosin-Arbesfeld R. A new nuclear component of the Wnt signaling pathway. *Nat. Cell Biol.* 4: 367-373 2002.

<sup>41</sup> Bart H, Ernst R. Wnt signaling: A complex issue. *Biol Res* 35: 277-286, 2002

<sup>42</sup> Easwaran V., Song V, polakis P. The Ubiquitin-Proteasome Pathway and Serine Kinase Activity Modulate Adenomatous Polyposis Coli Protein-mediated Regulation of  $\beta$ -Catenin-Lymphocyte Enhancer-binding Factor Signaling. *The J. of Biological chemistry.* Vol. 274, No. 23 4, pp. 16641–16645, 1999

<sup>43</sup> Hermann A., Andreas B., Jörg S.  $\beta$ -catenin is a target for the ubiquitin–proteasome pathway. *The EMBO Journal* vol.16 no.13 pp.3797–3804, 1997

<sup>44</sup> Polakis P. Wnt signaling and cancer. *Gees&Development* 14: 1837-1851 200.

<sup>45</sup> Polakis P. The oncogenic activation of  $\beta$ -catenin. *Current Opinion in Genetics & Development.* 9: 15-21 1999.

<sup>46</sup> Nhieu J.T.V., Renard C.A., Wei Y. Nuclear accumulation of mutated  $\beta$ -catenin in hepatocellular carcinoma is associated with increased cell proliferation. *American j. of Path.* 155: no.3 703-710 1999.

<sup>47</sup> Joerg H., Juergen B. The Wnt signalling pathway. *Journal of Cell Science* 115, 3977-3978 2002

<sup>48</sup> Steve E. J., Catherine J. Secreted Frizzled-related proteins: searching for relationships and patterns. *BioEssays* 24.9 811-820 2002.

<sup>49</sup> Mao B., Wu W., Davidson G. Kremen proteins are Dickkopf receptors that regulate Wnt/ $\beta$ -catenin signaling. *Nature* 417: 664-667 2002.

<sup>50</sup> <http://www.infobiogen.fr/services/chromcancer/Deep/WNTSignPath.html>

<sup>51</sup> Sakanaka C., Leong P., Xu L. Casein kinase 1 $\epsilon$  in the Wnt pathway: Regulation of  $\beta$ -catenin function. *PNAS* 96 no:22 12548-12552 1999.

<sup>52</sup> Amit S., Hatzubai A., Birman Y. Axin-mediated CK1 phosphorylation of  $\beta$ -catenin at Ser 45: a molecular switch for the Wnt pathway. *Genes & Development* 16 1066-1076 2002.

---

<sup>53</sup> Li L, Yuan H, Weaver CD, Axin and Frat1 interact with dvl and GSK, bridging Dvl to GSK in Wnt-mediated regulation of LEF-1. EMBO J. 18:4233-4240, 1999.

<sup>54</sup> Zeng W, Wharton KA, Jr., Mack JA, Naked cuticle encodes an inducible antagonist of Wnt signalling. Nature 403:789-795, 2000.

<sup>55</sup> Schwarz-Romond T, Asbrand C, Bakkers J, The ankyrin repeat protein Diversin recruits Casein kinase epsilon to the beta-catenin degradation complex and acts in both canonical Wnt and Wnt/JNK signaling. Genes Dev. 16:2073-2084, 2002.

<sup>56</sup> McCrea PD, Turck CW, Gumbiner B. A homolog of the armadillo protein in Drosophila (plakoglobin) associated with E-cadherin. Science 254:1359-1361, 1991

<sup>57</sup> Gumbiner BM. Signal transduction of beta-catenin. Curr.Opin.Cell Biol. 7:634-640, 1995

<sup>58</sup> Kolligs FT, Kolligs B, Hajra KM, Gamma-catenin is regulated by the APC tumor suppressor and its oncogenic activity is distinct from that of beta-catenin. Genes Dev. 14:1319-1331, 2000

<sup>59</sup> Polakis P. More than one way to skin a catenin. Cell 105:563-566, 2001

<sup>60</sup> Liu C, Li Y, Semenov M, Control of beta-catenin phosphorylation/degradation by a dual-kinase mechanism. Cell 108:837-847, 2002

<sup>61</sup> Huber AH, Weis WI. The structure of the beta-catenin/E-cadherin complex and the molecular basis of diverse ligand recognition by beta-catenin. Cell 105:391-402, 2001.

<sup>62</sup> Kramps T, Peter O, Brunner E,. Wnt/wingless signaling requires BCL9/legless-mediated recruitment of pygopus to the nuclear beta-catenin-TCF complex. Cell 109:47-60, 2002

<sup>63</sup> Ryo A, Nakamura M, Wulf G, Liou YC, Lu KP. Pin1 regulates turnover and subcellular localization of beta-catenin by inhibiting its interaction with APC. Nat.Cell Biol. 3:793-801, 2001

<sup>64</sup> Takemaru KI, Moon RT. The transcriptional coactivator CBP interacts with beta-catenin to activate gene expression. J.Cell Biol. 149:249-254, 2000

<sup>65</sup> Tago K, Nakamura T, Nishita M,. Inhibition of Wnt signaling by ICAT, a novel beta-catenin-interacting protein. Genes Dev. 14:1741-1749, 2000

---

<sup>66</sup> Van de Wetering M, de Lau W, Clevers H. WNT signaling and lymphocyte development. *Cell.* 2002;109 Suppl:S13-9

<sup>67</sup> Tesshi Yamada, Asako S. Takaoka, Yasuyoshi Naishiro, Reiko Hayashi, Keiji Maruyama, Chihaya Maesawa, Atsushi Ochiai, and Setsuo Hirohashi. Transactivation of the Multidrug Resistance 1 Gene by T-Cell Factor 4/  $\beta$ -Catenin Complex in Early Colorectal Carcinogenesis. *Cancer Research* 60, 4761–4766, 2000

<sup>68</sup> Kwonseop Kim, Ka Ming Pang, Michael Evans, and Elizabeth D. Hay. Overexpression of  $\beta$ -Catenin Induces Apoptosis Independent of Its Transactivation Function with LEF-1 or the Involvement of Major G1 Cell Cycle Regulators. *Molecular Biology of the Cell* Vol. 11, 3509–3523, 2000

<sup>69</sup> Caca K, Kolligs FT, Ji X, Hayes M, Qian J, Yahanda A, Rimm DL, Costa J, Fearon ER. Beta- and gamma-catenin mutations, but not E-cadherin inactivation, underlie T-cell factor/lymphoid enhancer factor transcriptional deregulation in gastric and pancreatic cancer. *Cell Growth Differ.* 1999;10(6):369-76

<sup>70</sup> Miyoshi K., Lothar H.  $\beta$ -catenin: a transforming actor on many stages. *Breast cancer Res.* 5:63-68 2003.

<sup>71</sup> Katherina Eklof Spink, Sofia G. Fridman William I. Weis. Molecular mechanisms of  $\beta$ -catenin recognition by adenoatous polyposis coli revealed by the structure of an APC-  $\beta$ -catenin complex. *The EMBO Journal* Vol.20 No.22 pp.6203-6212, 2001

<sup>72</sup> Wang Z., Vogelstein B., Kinzler K.W. Phosphorylation of  $\beta$ -catenin at S33, S37, or T41 can occur in absence of phosphorylation at T45 in colon cancer cells. *Cancer Research* 63:5234-5235 2003.

<sup>73</sup> Koesters R., Hans M. A., Benner A. Predominant mutation of codon 41 of the  $\beta$ -catenin proto-oncogene in rat colon tumors induced by 1,2-dimethylhydrazine using a complete carcinogenic protocol. *Carcinogenesis*, Vol. 22, No. 11, 1885-1890, 2001

<sup>74</sup> M. Ilyas, I. P. M. Tomlinson, A. Rowan, M.  $\beta$ -Catenin mutations in cell lines established from human colorectal cancers. *Proc. Natl. Acad. Sci. USA.* 1997; 16; 94 (19): 10330–10334

---

<sup>75</sup> Iwao K, Nakamori S, Kameyama M. Activation of the beta-catenin gene by interstitial deletions involving exon 3 in primary colorectal carcinomas without adenomatous polyposis coli mutations. *Cancer Res.* 1998; 58(5):1021-6.

<sup>76</sup> Akiyama Y, Nagasaki H, Yagi KO. Beta-catenin and adenomatous polyposis coli (APC) mutations in adenomas from hereditary non-polyposis colorectal cancer patients. *Cancer Lett.* 2000; 157(2):185-91.

<sup>77</sup> Kitaeva MN, Grogan L, Williams JP. Mutations in beta-catenin are uncommon in colorectal cancer occurring in occasional replication error-positive tumors. *Cancer Res.* 1997; 57(20):4478-81.

<sup>78</sup> A. De La Coste, B. Romagnolo, P. Billuart. Somatic mutations of the  $\beta$ -catenin gene are frequent in Mouse and human hepatocellular carcinomas. *Proc. Natl. Acad. Sci. USA* Vol. 95, pp. 8847-8851, 1998

<sup>79</sup> J. Cui, X. Zhou, Y. Liu. Mutation and overexpression of the  $\beta$ -catenin gene may play an important role in primary hepatocellular carcinoma among Chinese people. *Journal Cancer Res. Clin. Oncol.* (2001) 127: 577-581

<sup>80</sup> Fujie H, Moriya K, Shintani Y. Frequent  $\beta$ -catenin aberration in human hepatocellular carcinoma. *Hepatology Res* 2001; 20: 39-51.

<sup>81</sup> H. Takayasu, H. Horie, E. Hiyama,. Frequent Deletions and Mutations of the  $\beta$ -Catenin Gene Are Associated with Overexpression of *Cyclin D1* and *Fibronectin* and Poorly Differentiated Histology in Childhood Hepatoblastoma. *Clinical Cancer Research* Vol. 7, 901-908, 2001.

<sup>82</sup> Rong Wu, Yali Zhai, Eric R. Fearon. Diverse Mechanisms of  $\beta$ -Catenin Dereulation in Ovarian Endometrioid Adenocarcinomas. *Cancer Research* 61, 8247-8255, 15, 2001

<sup>83</sup> P. Machin, L. Catasus, C. Pons, CTNNB1 Mutations and  $\beta$ -Catenin Expression in Endometrial Carcinomas. *Human Pathol.* Vol. 33, No. 2002 206-212.

<sup>84</sup> L. Mirabelli-Primdahl, R. Gryfe, H. Kim,  $\beta$ -Catenin Mutations Are Specific for Colorectal Carcinomas with Microsatellite Instability but Occur in Endometrial Carcinomas Irrespective of Mutator Pathway *Cancer Research* 59, 3346-3351, 15, 1999

<sup>85</sup> Fukuchi T, Sakamoto M, Tsuda H. Beta-catenin mutation in carcinoma of the uterine endometrium. *Cancer Res.* 1998 Aug 15;58(16):3526-8.

<sup>86</sup> Schlosshauer PW, Pirog EC, Levine RL. Mutational analysis of the CTNNB1 and APC genes in uterine endometrioid carcinoma. *Mod Pathol.* 2000 13:1066-71

<sup>87</sup> R. Wu, Y. Zhai, E. R. Fearon. Diverse Mechanisms of  $\beta$ -Catenin Derepression in Ovarian Endometrioid Adenocarcinomas. *Cancer Research* 61, 8247–8255, 2001

<sup>88</sup> Wright K., Wilson P., Morland S.  $\beta$ -catenin mutation and expression analysis in ovarian cancer: exon 3 mutations and nuclear translocation in 16% of endometrioid tumors. *Int. J. Cancer* 82: 625-629 1999.

<sup>89</sup> Gamallo C, Palacios J, Moreno G. beta-catenin expression pattern in stage I and II ovarian carcinomas : relationship with beta-catenin gene mutations, clinicopathological features, and clinical outcome. *Am J Pathol.* 1999 155(2):527-36.

<sup>90</sup> Park W.S., Oh R.R., Park J.Y. Frequent somatic mutations of the beta-catenin gene in intestinal-type gastric cancer. *Cancer Res.* 1999 1;59(17):4257-60.

<sup>91</sup> Huiping C., Kristjansdottir S., Jonasson J.G. Alterations of E-cadherin and beta-catenin in gastric cancer. *BMC Cancer.* 2001;1(1):16.

<sup>92</sup> Maiti S, Alam R, Amos CI, Huff V. Frequent association of beta-catenin and WT1 mutations in Wilms tumors. *Cancer Res.* 2000 Nov 15;60(22):6288-92.

<sup>93</sup> Koesters R, Ridder R, Kopp-Schneider A.. Mutational activation of the beta-catenin proto-oncogene is a common event in the development of Wilms' tumors. *Cancer Res.* 1999 Aug 15;59(16):3880-2.

<sup>94</sup> R. P. Dahmen, A. Koch, D. Denkhaus, J. C. Deletions of AXIN1, a Component of the WNT/wingless Pathway, in Sporadic Medulloblastomas. *Cancer Research* 61, 7039–7043, October 1, 2001

<sup>95</sup> N. Yokota, S. Nishizawa, S. Ohta. Role of WNT Pathway in Medulloblastoma Oncogenesis. *Int. J. Cancer:* 101, 198–201 (2002)

<sup>96</sup> M Ueda, RM Gemmill, J West, R Winn. Mutations of the  $\beta$ - and  $\gamma$ -catenin genes are uncommon in human lung, breast, kidney, cervical and ovarian carcinomas *British Journal of Cancer*(2001) 85(1), 64–68 2001

---

<sup>97</sup> Shiaw-Yih Lin, Weiya Xia, Jo C. Wang,  $\beta$ -catenin, a novel prognostic marker for breast cancer: Its roles in cyclin D1 expression and cancer progression. 4262–4266 PNAS April 11, 2000 vol. 97 no. 8

<sup>98</sup> Van de Wetering M., Barker N., Harkes I.C. Mutant E-cadherin breast cancer cells do not display constitutive Wnt signaling. Cancer Res. 2001 Jan 1;61(1):278-84.

<sup>99</sup> Jiangyong M., Takeshi K., Seika K. Mutation of  $\beta$ -catenin and its protein accumulation in solid and cystic tumor of the pancreas associated with metastasis International Journal of Molecular Medicine 11: 461-464, 2003

<sup>100</sup> B. Xu, K. Yoshimoto, A. Miyauchi. Cribriform-morular variant of papillary thyroid carcinoma: a pathological and molecular genetic study with evidence of frequent somatic mutations in exon 3 of the  $\beta$ -catenin gene J Pathol 2003 199: 58–67

<sup>101</sup> Garcia G, Tallini G, Herrero A. Frequent mutation and nuclear localization of beta-catenin in anaplastic thyroid carcinoma. Cancer Res. 1999 Apr 15;59(8):1811-5.

<sup>102</sup> Garcia-Rostan G, Camp RL, Herrero A. Beta-catenin dysregulation in thyroid neoplasms: down-regulation, aberrant nuclear expression, and CTNNB1 exon 3 mutations are markers for aggressive tumor phenotypes and poor prognosis. Am J Pathol. 2001 Mar;158(3):987-96.

<sup>103</sup> S. Ikeda, Y. Ishizaki, Y. Shimizu, Immunohistochemistry of cyclin D1 and  $\beta$ -catenin, and mutational analysis of exon 3 of  $\beta$ -catenin gene in parathyroid adenomas. International Journal of Oncology, 20: 463-466, 2002

<sup>104</sup> V. Bilim, T. Kawasaki, A. Katagiri. Altered Expression of  $\beta$ -Catenin in Renal Cell Cancer and Transitional Cell Cancer with the Absence of  $\beta$ -catenin Gene Mutations. Clinical Cancer Research Vol. 6, 460-466, 2000

<sup>105</sup> Y. Kajino, A. Yamaguchi, N. Hashimoto.  $\beta$ -Catenin gene mutation in human hair follicle-related tumors. Pathology International 2001; 51: 543–548

<sup>106</sup> Koch A., Waha A., Tonn J.C., Somatic mutations of WNT/wingless signaling pathway components in primitive neuroectodermal tumors. Int J Cancer. 2001 Aug 1;93(3):445-9

<sup>107</sup> OMIM (Online Mendelian Inheritance in Men Database)  
<http://www.ncbi.nlm.nih.gov/entrez/dispmim.cgi?id=116806>

---

<sup>108</sup> Kraus, C.; Liehr, T.; Hulskens, J.; Behrens, J. Localization of the human beta-catenin gene (CTNNB1) to 3p21: a region implicated in tumor development. *Genomics* 23: 272-274, 1994

<sup>109</sup> Nollet, F.; Berx, G.; Moelmans, F. Genomic organization of the human beta-catenin gene (CTNNB1). *Genomics* 32: 413-424, 1996.

<sup>110</sup> Homo sapiens catenin (cadherin-associated protein), beta 1, 88kDa Gen bank accession no:N NM\_001904

<sup>111</sup> Murase, S.; Mosser, E.; Schuman, E. M. Depolarization drives beta-catenin into neuronal spines promoting changes in synaptic structure and function. *Neuron* 35: 91-105, 2002

<sup>112</sup> T. Hinoi, H. Yamamoto, M. Kishida. Complex formation of adenomatous polyposis coli gene product and axin facilitates glycogen synthase kinase-3β-dependent phosphorylation of β-catenin and down regulates β-catenin. *The Journal of Biological Chemistry*. 274: no:23 34399-34406 2000.

<sup>113</sup> Potter E, Bergwitz C, Brabant G. The cadherin-catenin system: implications for growth and differentiation of endocrine tissues. *Endocr Rev*. 1999 20(2):207-39.

<sup>114</sup> Markoff, A., Savov, A., Vladimirov, V., Bogdanova, N., Kremensky, I., and Ganev, V. Optimization of single-stranded conformation polymorphism analysis in the presence of polyethylene glycol. *Clin Chem* 43: 30–3, 1997

<sup>115</sup> PCR product analysis Applications SSCP [www.amershambiosciences.com](http://www.amershambiosciences.com)

<sup>116</sup> Molecular Cloning: A Laboratory Manual, Second Edition, J. Sambrook, E.F. Fritsch and T. Maniatis, Cold spring Harbor Laboratory Press, Cold Spring Harbor, New York (1989)

<sup>117</sup> Umeda T., Yamamoto T., Kajino K., β-catenin mutations are absent in hepatocellular carcinomas of SV40 T antigen transgenic mice. In. *J. Oncol.* 16: 1133-1136 2000.

<sup>118</sup> Rimm D.L., Caca K., Hu G. Frequent nuclear/cytoplasmic localization of β-catenin without exon3 mutations in malignant melanoma. *Am. J. Pathol.* 154:325-329 1999.